

## YAKIN ÇİFT YILDIZLAR

C. İbanoğlu

E.Ü. Fen Fakültesi Astronomi ve Uzay Bilimleri Bölümü

### ÖZET

Bileşenleri karşılıklı olarak küresel yüzey yapılarını bozabilecek denli birbirine yakın olan örten çift yıldızlara yakın çift yıldızlar diyoruz. Yakın çift yıldızların incelenmesiyle çifti oluşturan yıldızların kütle, yarıçap, ışınma, yoğunluk, yüzey sıcaklıklarını, dönme hızları gibi yıldızlara ilişkin temel özellikleri duyarlı bir şekilde bulabiliyoruz. Yalnız bu özelliklerle kalmayıp, tayf ve işkölçüm gözlemlerini birleştirerek yıldızlarda kenar kararması, çekim kararması gibi onların atmosfer özelliklerini ortaya çıkarabiliyoruz. Basık yörungeli örten çiftlerde, minimumlardaki dönemli kaymalardan iç yapıya ilişkin önemli bilgiler elde ediyor, yıldız içlerinde maddenin dağılmını gösteren kuramları denetleyebiliyoruz.

Son yıllarda yapılan X-işin ve radyo gözlemlerini optik çalışmalarla birleştirerek, yıldızlardaki aktivite ve manyetik dinamo modellerini karşılaştırabiliyor, yıldızların fotosferleri üzerindeki geçiş bölgeleri, kromosfer ve korona yapılarını daha yakından tanıyalıyor. Bileşenleri arasında kütle aktarımı olan yakın çiftlerin incelenmesiyle, yığılma disklerinin oluşumu ve yapısı ile plazmanın fiziksel özelliklerini ortaya çıkarabiliyoruz. Bu konusmada bu bilgilere nasıl ulaşabileceğimiz öz olarak verilecek, yakın gelecekte daha neler yapabileceğimiz tartışılacaktır.

### 1. GİRİŞ

Karşılıklı çekim kuvvetiyle birbirine bağlı, ortak kütle merkezi çevresinde kapalı yörungeler çizen iki yıldıdan olmuşsuz dizgelere çift yıldızlar diyoruz. Bu tanım bileşen yıldızlar arasındaki uzaklığa bağlı olmadığından yıldızlar birbirine çok yakın olabilecekleri gibi binlerce AB gibi çok ayrı da olabilirler. Ortak özelliklerine göre çift yıldızları alt sınıflara ayıranın en iyi yolu **gözlem yöntemlerine** dayandırılmıştır. Bir çift yıldız bize yeterince yakın ve bileşenler arasındaki uzaklık çok büyükse onun bileşenlerini teleskoplarımıza ayrı ayrı görebiliriz. Bunlara **görsel çift yıldızlar** diyoruz. W. Herschel'in 1804 yılında Castor yıldız çiftinin yörunge devinimini bulmasıyla Newton'un evrensel çekim yasasının Güneş Dizgesi dışında da uygulanabileceği ortaya çıkmış oldu.

Bir çift yıldızın üyeleri birbirine çok yakın ise teleskopla bile onları ayrı ayrı görme olanağı ortadan kalkar. Bu tür çift yıldızları ancak tayf çizgilerindeki dönemli kaymalardan tanıyalıyorsunuz ve bunlara **tayfsal çift yıldızlar** diyoruz. Bunların yörunge dönemleri bir kaç saat ile bir kaç ay arasındadır. Kimi çift yıldızların yörunge düzlemleri bakış doğrultumuza çok yakındır. Böyle çift yıldızlarda bileşen yıldızlar birbirini karşılıklı olarak örter. Dolayısıyla dizgenin toplam parlaklığını dönemli değişimler gösterir. Bu tür dizgelere de örten çift yıldızlar diyoruz.

Çift yıldızların farklı üç türünü gözmek için kullanılan teknikler de çok farklıdır. Bir görsel çiftin üyelerinin ortak kütle merkezi çevresinde çizdikleri yörungenin belirlenmesi için bileşenler arasındaki uzaklığun yeterince büyük olması yanında çiftin güneşe yakın olması gereklidir. Bir tayfsal çiftin gözlenebilmesi için onun ne kadar uzakta olduğunu öncemi yoktur. Yeter ki dizge, yüksek yaymalı tayfları elde edebilecek kadar parlak olsun. Örten çift olma durumunda tutulmalar yeterince derinse daha da uzaklara gidebiliriz. Yalnız kendi gökadamızdakileri değil öteki gökadalarındaki örten çiftleri de gözleyebiliriz. Örten çift yıldızlarının tümü aynı zamanda potansiyel birer tayfsal çifttir.

Bilinen fizik yasaları çift yıldızların uygun gözlemleriyle birleştirilerek yıldızların,

- a) Kütleleri
- b) Yarıçapları
- c) Yoğunlukları
- d) Yüzey sıcaklıklarını
- e) İşitmaları
- f) Dönme miktarları

gibi temel öğeleri bulunabilir. İkili ve çoklu yıldız dizgelerinin sayısı nedir gibi bir soru akla gelebilir. Güneş dizgemiz yöresindeki yıldızların yüzde elliden fazlası çoklu yıldız dizgelerinin üyeleriidir. Gökadamların yıldızların yarısının çift yıldız üyesi olduğu sanılmaktadır.

## 1.1 KÜTLE TAYİNİ

Çift yıldızların astrofiziğe en önemli katkısı yıldızların kütle, yarıçap ve işitma gibi temel öğelerinin belirlenmesidir. Yıldızların kütlelerini dolaylı olarak ancak çift yıldızları kullanarak bulabiliyoruz. Yarıçap ve işitmaların bulunmasında çift yıldızların önemli katkısı olsa da bu nicelikleri başka yollarla bulma olanağımız var.

Yıldızların kütlelerinin bulunmasında temel denklemimiz Kepler'in üçüncü yasası

$$a^3 / P^2 = m_1 + m_2 \quad (1.1)$$

dir. Burada  $a$ , AB cinsinden bileşenler arasındaki uzaklık;  $P$ , yıl biriminde dönem;  $m_1$  ve  $m_2$  de güneş kütlesi biriminde bileşenlerin kütleleridir. Çiftin toplam kütlesini belirlemek için dizgenin dönemi ve yörünge yarıbüyük eksen uzunluğunun bilinmesi gerekmektedir. Çift yıldızlarda  $P'$  yi duyarlı bir şekilde belirleyebildiğimize göre, kütle tayininin duyarlığı  $a'$  nin duyarlığına bağlıdır. Görsel çiftlerin yörüngelerinden  $a''$  yi bulabiliyoruz. Çiftin iraksımı  $\pi''$  biliniyorsa  $a'$  nin salt değerini hesaplayabiliyoruz.

Tayfsal çift olma durumunda yörünge düzlemi gökyüzü düzlemine çıkışık değilse ve bileşenlerin parlaklık farkı da çok büyük değilse her iki bileşenin tayf çizgileri laboratuvar dalgaboyuna göre dönemli Doppler kayması gösterir. Doppler formülü,

$$\Delta\lambda / \lambda = V_r / c \quad (1.2)$$

bağıntısını kullanarak bulacağımız  $V_r$  değerlerini t zamanlarına göre işaretlediğimizde elde edilen eğriye dikine hız eğrisi diyoruz. Bu eğri yörüngenin biçimine bağlı olması yanında gözlemcinin yörüngeye bakış doğrultusuna bağlıdır. Dikine hız eğrisinin denkleminin

$$V_r = V_0 + (2\pi a \sin i / P \sqrt{1-e^2}) [e \cos w + \cos(v+w)] \quad (1.3)$$

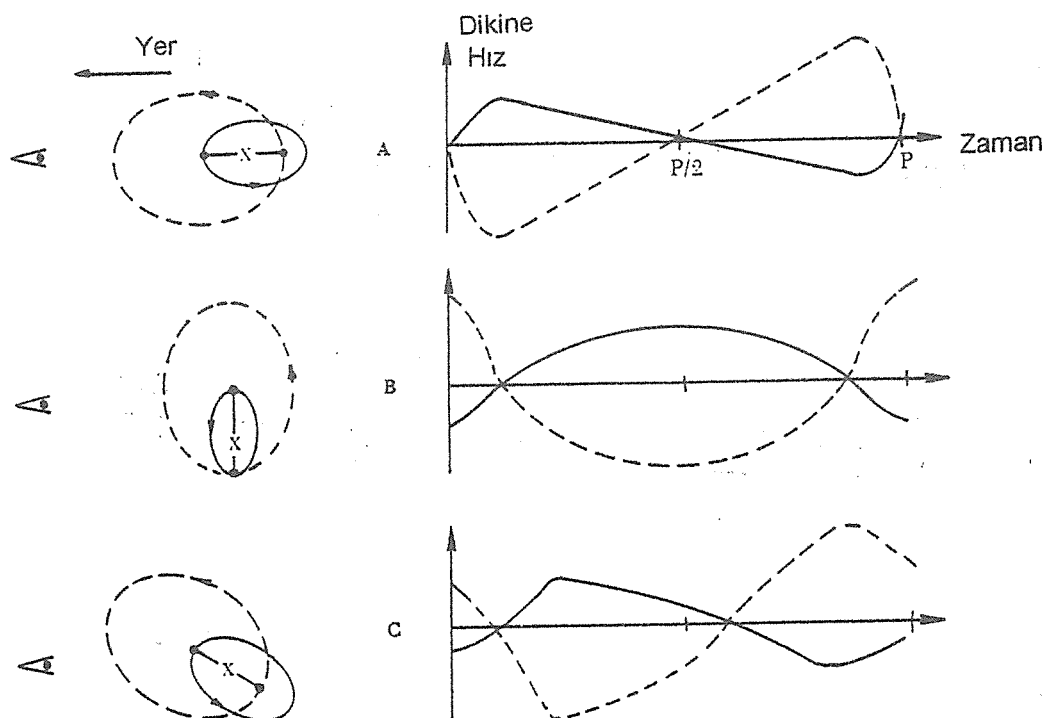
olacağını kolayca çıkartabiliriz. En basit durum olarak yörünenin daire, yörünge düzleminin de bakış doğrultusunda olduğunu varsayırsak, her iki bileşenin dikine hız eğrisi sinüs eğrisi verecek fakat zit evreli olacaktır. Buna göre her iki bileşenin kütle merkezine uzaklığı,

$$a_1 = V_1 P / 2\pi, \quad a_2 = V_2 P / 2\pi \quad (1.4)$$

olacaktır. Kütle merkezi özelliğine göre  $m_1 a_1 = m_2 a_2$  olduğundan,

$$m_1 / m_2 = a_2 / a_1 = V_2 / V_1$$

elde ederiz. Görelî yarı-büyük eksen uzunluğu  $a = a_1 + a_2$ ,  $P$  belli olduğundan  $m_1 + m_2 = a^3 / P^2$  ile bileşenlerin kütlelerini ayrı ayrı bulabiliyoruz.



Şekil 1. Bakış doğrultusuna bağlı olarak dikine hız eğrileri.

Yörüngenin basık olduğu durumda eğrinin yan genlikleri A ve B, alanlar  $Z_1$  ve  $Z_2$  ise

$$K = (1/2)(A+B) = (2\pi a \sin i) / (P\sqrt{1-e^2}) \quad (1.6)$$

$$e \cos w = (A-B) / (A+B) \quad (1.7)$$

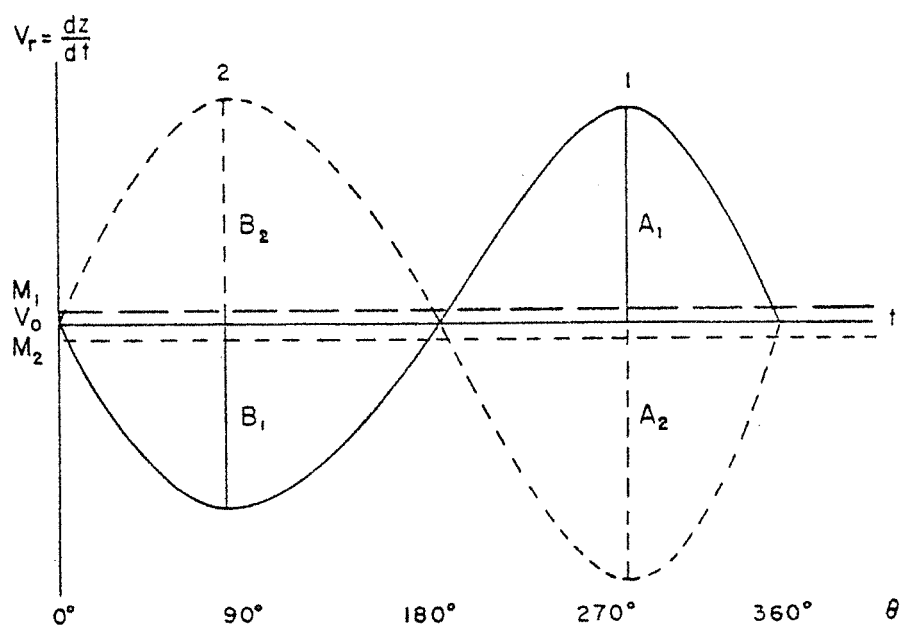
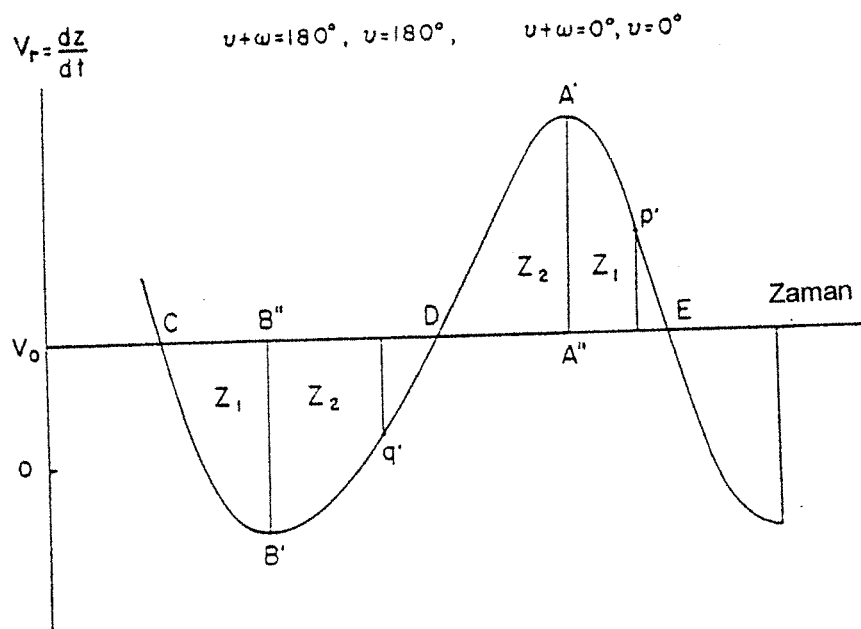
$$e \sin w = 2 \sqrt{AB / (A+B)} [(Z_2 - Z_1) / (Z_2 + Z_1)] \quad (1.8)$$

$$a \sin i = (K P \sqrt{1-e^2}) / 2\pi \quad (1.9)$$

$$m_2 / m_1 = a_1 / a_2 = a_1 \sin i / a_2 \sin i; m_2 / (m_1 + m_2) = a_1 / a \quad (1.10)$$

$$f(m) = m_2 \sin^3 i / (m_1 + m_2)^2 = (a_1 \sin i)^3 / 25 P^2 \quad (1.11)$$

bağıntıları yardımıyla  $e$ ,  $w$ ,  $a \sin i$  ve kütle fonksiyonunu bulabiliyoruz. Büyük kütleyeli parlak yıldızın kütlesini herhangi bir yolla belirleyebilirsek tayf çizgileri görünmeyen küçük kütleyeli yıldızın kütlesini, kütle fonksiyonundan bulabiliyoruz.



**Şekil 2.** Tek ve çift çizgili tayfsal çiftlerde dikine hız eğrileri.

$$a \sin i = (K_1 + K_2) P \sqrt{1-e^2} / 2\pi \quad (1.12)$$

$$m_1 \sin^3 i = a_2 \sin i (a \sin i)^2 / 25 P^2 \quad (1.13)$$

$$m_2 \sin^3 i = a_1 \sin i (a \sin i)^2 / 25 P^2 \quad (1.14)$$

bağıntıları yardımıyla  $\sin^3 i$  ile çarpılmış kütleleri ayrı ayrı bulabiliyoruz.

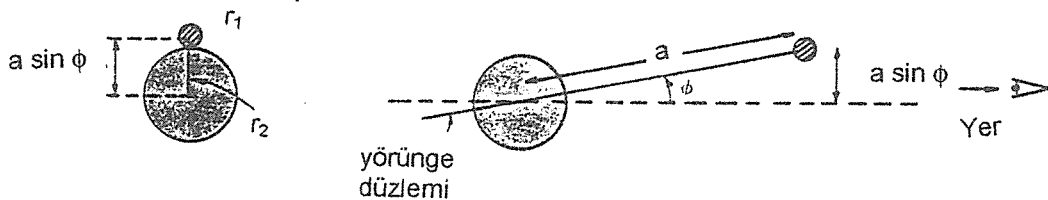
## 1.2 YARIÇAP TAYİNİ

Dev yıldızların açısal çaplarını Michelson girişimleriyle belirleyebiliyoruz. Ancak, sönüklere doğru gidildikçe bu teknigin kullanılması güçleşmektedir. Yıldız çaplarının hesaplanmasında Ay tarafından örtülmeyi de kullanabiliriz. Yıldızların yarıçaplarının dolaylı olarak bulunmasında örten çift yıldızların ışık eğrilerini kullanabiliyoruz.

Bileşenleri arasındaki uzaklık  $a$ , yörunge düzleme bakış doğrultumuz arasındaki açı  $\phi$  ise tutulmaların olabileceğimiz koşulu

$$a \sin \phi < r_1 + r_2 \quad (1.15)$$

dir. O halde küçük yörungeli, kısa dönemli yıldızlarda tutulma bekleriz.



Şekil 3. Tutulmanın geometrisi.

Tutulma sırasında sıcak yıldız arkada ise daha büyük bir parlaklık değişimi olur. Sıcak yıldızın örtülmesiyle oluşan bu derin minimuma **baş minimum**, soğuk örtülmesiyle oluşan sıç minimuma da **yan minimum** diyoruz.

Tutulma türleri :

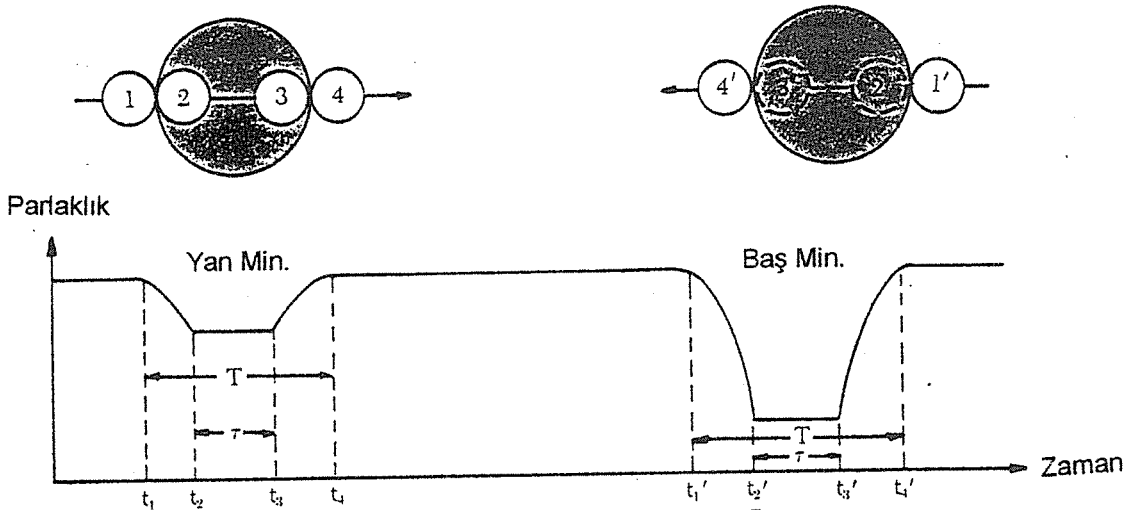
- a)  $i=90^\circ$  ise tam ve halkalı tutulma
- b)  $a \cos i < [r_2 - r_1]$  ise yine tam ve halkalı tutulma
- c)  $[r_2 - r_1] < a \cos i < [r_2 + r_1]$  ise parçalı tutulma olur.

Merkezi tutulmaların olduğu bir ışık eğrisini göz önüne alalım;  $i=90^\circ$  demektir. Küçük yıldızın merkezler arasındaki uzaklık biriminde yarıçapı  $r_1$ , büyükün  $r_2$  ise,

$$2r_1 = V(t_2 - t_1) = V(t_4 - t_3) \quad (1.16)$$

$$2(r_1 + r_2) = V(t_4 - t_1) \quad (1.17)$$

olur. Göreli dairesel yörungenin yarıçapı ise,



Şekil 4. Tutulma eğrileri ve tutulma zamanları.

$$a = V P / 2\pi \quad (1.18)$$

dir. Bu eşitliklerden,

$$r_1 / a = \pi (t_2 - t_1) / P \quad (1.19)$$

$$r_2 / a = \pi (t_4 - t_2) / P \quad (1.20)$$

elde edilir. Bileşenlerin tayfını almadan etkin yüzey sıcaklıklarını oranını da ışık eğrilerinden bulabiliriz. Yıldızların yüzey parlaklıkları  $\sigma T e^4$ , her minimumda  $\pi r_1^2$  kadarlık alan örtüldüğünden minimumların görelî derinlikleri oranı  $(T_2/T_1)^4$  değerini verir.

Yörunge düzleminin gökyüzü düzlemine dik olmadığı durumda yıldızların yarıçapları ile yöringe eğikliğinin bulunması zorlaşır. Geometrik elementler  $r_1, r_2$ , ve  $i$  ile gözlenen ışık kaybı  $\alpha$  arasındaki temel denklemimiz,

$$\sin^2 \Theta \sin^2 i + \cos^2 i = r_2^2 [1 + kp(k, \alpha)]^2 \quad (1.21)$$

dir. Burada  $\Theta$ , yöringe evre açısı;  $k$ , yarıçaplar oranı;  $p = (\delta - r_2) / r_1$  olup geometrik derinliktir.  $\delta$  ise herhangi bir  $t$  anında yıldızların merkezleri arasındaki uzaklıktır. Gözlem değerlerini kullanarak bu denklemin çözümü grafik ya da sayısal çözümleme yoluyla yapılabilir.

Elde edilen ışık eğrilerinin doğrudan çözümü bizi yanlış sonuçlara götürürebilir. Karşılıklı çekimden dolayı bileşenlerin biçiminin küresel yıldızlardan ayrılmaması, birbirine bakan yüzeylerinin aldığı ışını yeniden yansımaları nedeniyle tutulmalar arasında parlaklık değişmesi gözönüğe alınmalıdır. Bu etkileri ortadan kaldırma işlemine **arındırma** diyoruz.

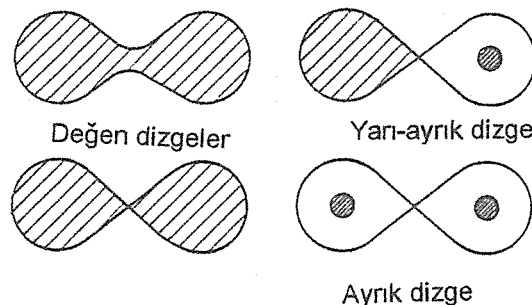
1970 li yıllarda örten çift yıldızların sayısal modellerini gözlemlerle karşılaştırarak ögelerin belirlenmesi yöntemleri geliştirilmeye başlandı. Yıldız atmosfer modelleri kullanılarak bileşenlerdeki bozulma, yansıtma ve kenar kararması etkileri de modele sokuldu (Wood, 1969; Wilson ve Devinney, 1971; Hill ve Hutchings, 1970).

### 1.3 SINIFLANDIRMA

Örten çift yıldızların sınıflandırılması Krat (1944), Struve (1950) ve Sahade (1960) tarafından farklı yöntemler kullanılarak yapılmaya çalışıldı. Sahade sınıflandırmada çifti oluşturan bileşenlerin gelişim durumunu belirteç olarak alıyordu. 1955 yılında Kopal tamamen farklı bir belirtece göre sınıflama önermişti. Bir yıldızın bileşeninin olması onun ulaşabileceği boyutu sınırlar. Bu sınır, sınırlı üç cisim problemindeki sıfır-hız yüzeyleri olarak düşünülmektedir. Yüzeyi kesen parçacıklar her iki bileşenin çekimi altında fakat lobun içindeki yıldıza ait değildir. Bu lobların boyutları tamamen iki yıldızın kütleleri oranına bağlıdır. Bu yüzeye Roche limiti diyoruz. Kopal sınıflaması örten çift yıldızları üç sınıfa ayırmıştır:

1. Bileşenleri Roche lobunu doldurmayan ayrık dizgeler
2. Bileşenlerinden birisi Roche lobunu dolduran yarı-ayrık dizgeler
3. Her iki bileşeni Roche lobunu dolduran degen dizgeler.

Plavec (1964), bu iki sınıflamanın birleştirilerek iki belirteçli bir sınıflamanın yapılmasını önermiştir. Böyle bir sınıflamanın yapılabilmesi için bileşenlerin kütle, yarıçap, ışıtmaları yanında bileşenler arasındaki uzaklığın bilinmesi gerekmektedir.



*Şekil 5. Örten çift yıldızların Roche loblarına göre sınıflandırılması*

Bu ögelerden bileşenler arasındaki uzaklığın özel bir önemi vardır. Yakın ve çok ayrık dizgeler bu ögeye göre birbirinden ayrılmaktadır. Bileşenler karşılıklı olarak küresel yüzey yapılarını bozabilecek denli birbirine yakınsa böyle dizgelere YAKIN ÇİFT YILDIZLAR diyoruz. Bu tanıma göre görsel çiftler ve tayfsal çiftlerin çoğu çok ayrık dizgelerdir. Dönemleri birkaç gün ya da daha kısa olan dizgeler de yakın çiftlerdir. Ancak, Plavec (1967) ve Paczynski (1967) yakın çift yıldızlar tanımına yeni bir yaklaşım getirdiler. Bu tanıma göre bileşenlerden birisi ötekinin gelişimini etkiliyorsa bu dizge bir yakın çifttir. Gelişimin belli bir basamağında bileşenlerden birisi kendi Roche lobunu doldurabilir. Böyle bir dizgede her iki yıldız da birbirinin gelişimini etkileyecektir. Çok küçük küteli yıldızlar anakol gelişimlerini tamamladıktan sonra yozlaşmış cüce durumuna geleceklerinden ancak bu tür çift yıldızlar ayrık olarak kalabilirler.

General Catalogue of Variable Stars' in 1985 ile 1990 yılları arasında yayınlanan dördüncü baskısında yakın çift yıldızlar yeniden sınıflandırılmıştır. GCVS 'nin bu son baskısında üçlü bir sınıflama şeması önerilmektedir. Bunlar;

1. Işık eğrisinin biçimine göre: EA-Algod, EB- $\beta$  Lyr, EW-WUMa

2. Bileşenlerin fiziksel özelliklerine göre:

- a) GS-Bileşenlerinden biri ya da her ikisi dev veya üst dev olanlar,
- b) PN-Gezegenimsi bulutsuların çekirdeklerinde olanlar (UU Sge),
- c) RS-Kuvvetli Call H, K salmaları gösteren RS CVn yıldızları,
- d) WD-Beyaz cüce bileşenli çiftler,
- e) WR-Wolf-Rayet bileşenli çiftler,

3. Roche lobuna göre

- a) AR-Her iki bileşeni alt dev olan AR Lac türü ayrık çiftler,
- b) DM-Ayrık anakol dizgeleri,
- c) DS-Alt dev bileşenli ayrık dizgeler,
- d) KE-Ön tayf türünden degen dizgeler,
- e) KW-W UMa türü degen dizgeler,
- f) SD-Küçük küteli alt dev bileşenin Roche lobunu doldurmak üzere olduğu yarı-ayrik dizgeler.

ilk yöntem ışık eğrilerinin görünüşüne göre yapılrken ikinci ve üçüncü yöntemler çiftin bileşenlerinin HR diyagramlarındaki konumlarıyla Roche lobunu doldurma özelliğini kullanmaktadır.

Bir çift yıldızı oluşturan bileşenlerin fiziksel özellikleri ve incelenerek mekanizmları elde edilecek bilgilere göre yakın çift yıldızlar Guinan (1993) tarafından yeniden sınıflandırılmış ve Çizelge 1'de verilmiştir. Bu çizelgede yıldızların hemen hemen her türünün örten çift yıldızlarda temsil edildiği görülmektedir. Dolayısıyla çağdaş fizik ve gökbiliminin önemli ve farklı bir çok probleminin incelenmesinde yakın çiftlerin belli türlerini kullanabiliyoruz. Bu açıdan bakıldığından yakın çift yıldızlar bize çağdaş fiziğin ve gökbilimin her türlü konusunu araştırma olanağı sağlayan **ASTROFİZİK LABORATUARLARI**'dır.

1970'li yıllarda yakın çiftlerin, yıldızlar astrofiziği ve gelişimde kullanılmaya başlandığını görüyoruz. Başka bir yıldız ya da yıldız grubundan elde edemediğimiz fakat yakın örten çift yıldızları kullanarak kolayca belirleyebildiğimiz özellikleri şöyle sıralayabiliriz:

- a) **Yıldız Atmosferleri** (Kenar kararması, çekim kararması ve atmosferik tutulma çalışmaları)
- b) **Yıldız içleri ve iç yapıları** (Basık yörüngeli çiftlerde eksen dönmesi)
- c) **Yıldız aktivitesi ve manyetik dinamo** (Yıldız korona ve kromosferlerinin X - ışın, UV ve radyo tutulma haritaları)
- d) **Plazma fiziği** (Yığıılma diskli çiftler)

Bunlara ek olarak bir kaç yakın çift dizge var ki, eksen dönmesi çalışmalıyla genel görelilik kuramını test edebiliyoruz. Uygun çift yıldızları seçerek kozmik helyum bolluğunun hesaplayabilir, yıldızların nükleer çekirdeklerindeki konvektif fırlatmanın (overshooting) önemini denetleyebiliyoruz.

**Çizelge-1. Yakın çift yıldızların sınıflandırılması (Guinan, 1993)**

Tür	Fiziksel özellik/İncelenenek mekanizma
1 Ayrık çiftler	Bileşen yıldızların kütle, yarıçap, ışılma ve yoğunlukları; yıldızların gelişiminin denetlenmesi
2 Aktif Kromosferli Çiftler RS CVn, BY Dra ve İlgili dizgeler	Manyetik aktivite, Yıldız lekeleri, Kromosfer ve korona salmaları; Güneş-yıldız bağlantısı
3 Basık yörüngeli çiftler	Eksen dönmesi çalışmaları; yıldız yapıları ve iç yapıları; genel görelilik kuramının testi.
4 Yarı-ayrık dizgeler Algol, W Ser çiftleri	Yıldız ve çift yıldız gelişimi; kütle kaybı ve değişimi; yiğilma disklerinin oluşumu
5 Değen dizgeler a) soğuk : W UMa türü dizgeler b) sıcak : AO Cas ve WR çiftleri	Yıldız aktivitesi ve manyetizma; çift yıldız gelişimi; açısal momentum kaybı; çift yıldız birleşmeleri Çift yıldız gelişimi ve dinamiği; etkileşen rüzgarlar; kütle kaybı
6 Değmeye yakın dizgeler V1010 Oph dizgeleri, Ters Algoller	Yıldızların gelişimi; kütle aktarımı ve kaybı; soğuk bileşenli dizgelerde manyetik aktivite
7 ζ Aurigae ve VV Cep dizgeleri	Gelişmiş üst dev yıldızların özellikleri: Gelişmiş yıldızların kütle, yarıçap ve atmosfer yapıları; kütle kaybı miktarları; yiğilme işlemleri
8 Kataklismik değişenler ve Nova-benzeri çiftler	Beyaz cücelerin kütleleri; yiğilma ve yiğilma diskleri; manyetik frenleme ve rölativistik etkilerle açısal momentum kaybı
9 Nötron yıldızı ve kara-delik bileşenli X-ışın çiftleri	Nötron yıldızlarının özellikleri; yiğilma; sıcak plazma ve manyetik alanların fiziği; kara deliklerin varlığı (Cyg X-1, V404 Cyg)
10 Çift atarcalar	Nötron yıldızlarının özelliği; üstnova kalıntıları; çok yoğun madde; genel göreliliğin testi
11 Simbiyotik çiftler (MIII + Wd) uzun dönemli çiftler	Rüzgarla yiğilma ve kırmızı devlerden kütle kaybı miktarı, plazma fiziği
12 Baryum ve S-yıldızı çiftleri (soğuk dev+wd) uzun dönemli değişenler	Yıldızların gelişimi; çekirdek birleşmeleri; kütle kaybı ve aktarımı / kimyasal zenginleşme
13 Ortak zarf sonrası çift yıldızlar ; gezegenimsi bulutsuların çift çekirdekleri; V471 Tau	Ortak zarfı gelişim; kütle kaybı/ kimyasal zenginleşme /alt cüceler / beyaz cüceler.

## 2. TUTULMA BİÇİMİ VE ATMOSFERİK TUTULMALAR

### 2.1 KENAR KARARMASI VE YILDIZ FOTOSFERLERİ

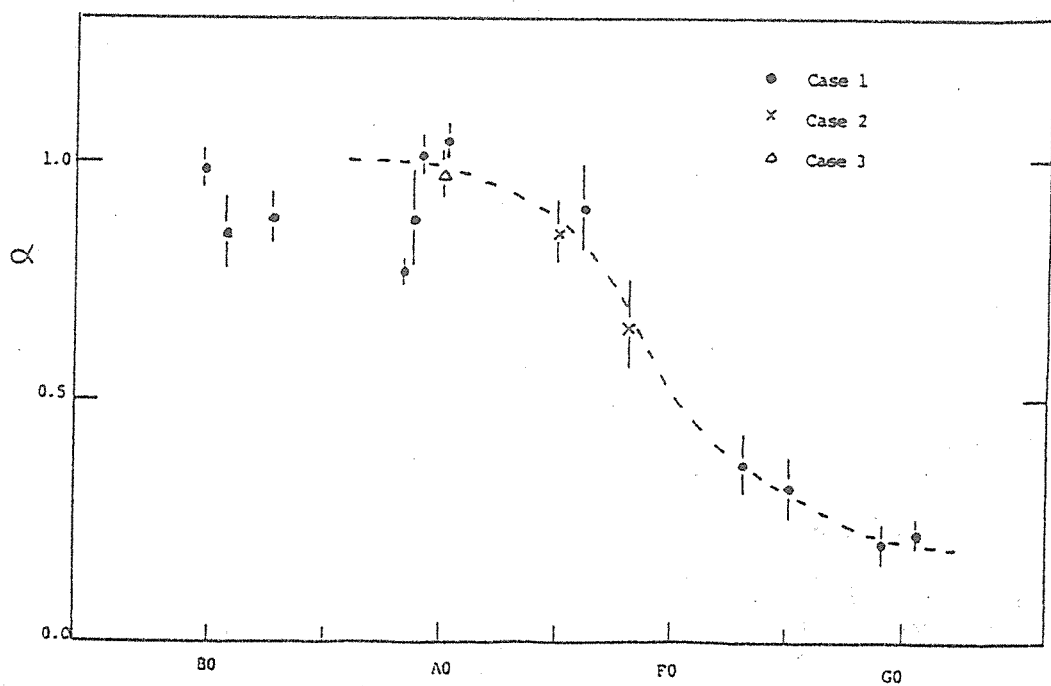
Güneşin fotosferindeki kenar kararmasını inceleyerek fotosferdeki sıcaklık dağılımını bulabiliyoruz. Güneş dışında kenar kararması olayını ancak örten çift yıldızların tutulma eğrilerinin biçiminde görebiliyoruz. Kenar kararmasının doğrudan, duyarlı bir şekilde bulunması ışık eğrilerinin yeterince derin ve tam tutulma olması yanında ışık eğrisinin başka bir nedenle bozulmamış olması gerekmektedir. Bu iki koşulu sağlayan ışık eğrilerinin tutulmalar sırasındaki parlaklık değişimini analizi bileşen yıldızların görünür diskleri üzerindeki parlaklık dağılımını verir. Kenar kararması, donukluk ( $\kappa_s$ ), kimyasal bolluk (X, Y, Z), elektron basıncı ( $P_e$ ), sıcaklık ( $T_e$ ) ve sıcaklık gradiyenti ( $dT / dr$ ) gibi yıldız fotosferinin fiziksel özelliklerine bağlıdır. Son yıllarda geliştirilen atmosfer modelleri kullanılarak doğrusal ve doğrusal olmayan kenar karma katsayıları Claret ve Gimenez (1990) tarafından hesaplanmıştır. Elimizde yüksek duyarlılık ışık ölçümlü ışık eğrileri elde edilen çok az yıldız var. Bu ışık eğrilerinden bulunan kenar karma katsayıları kuramsal değerlerle iyi bir uyuşma gösteriyor. Yüksek duyarlılık çok-bant ışık eğrilerinin elde edilerek çeşitli tayf türlerindeki yıldızlarda kenar kararması ve fotosfer modellerinin denetlenmesi gerekmektedir.

### 2.2 ÇEKİM KARARMASI: YILDIZLARIN YÜZEYALTI

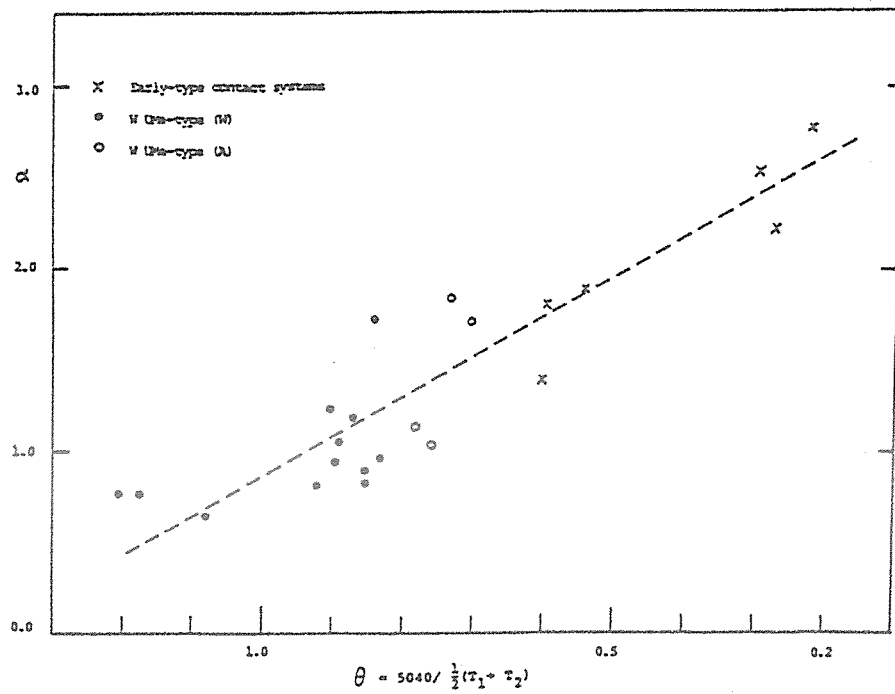
Örten çiftlerin ışık eğrilerinin analiziyle bulunan önemli bir nicelik de küresel yapıları bozulmuş yıldızların çekim kararmasıdır. Çekim kararması, dönme ve karşılıklı çekimle bozulmuş yıldızlarda fotosferaltı katmanları inceleyebileceğimiz gözlemlisel tek niceliktir. Yerel çekim ivmesi  $g$  olmak üzere yıldız yüzeyinin herhangi bir noktasındaki tümüşüm parlaklıği çekimsel karma yasasına göre  $I \propto g^\alpha$  dir. Atmosferlerinde erkenin işinimla taşındığı yıldızlar için üssün kuramsal değeri  $\alpha$  (ışın) = 1.0 (Zeipel 1924), konvektif yıldızlar içinse  $\alpha$  (conv) = 0.3 tür (Lucy ,1967).

Çekim kararmasının en iyi belirteci tutulmalarındaki basıkkılık etkisi olarak bilinen eğrisel parlaklık değişimidir. Ancak tutulmalarındaki parlaklık değişim gaz akımı, yığılma diskleri ve soğuk bileşenli örten çiftlerdeki lekelerden dolayı oldukça etkilenir. Bu güçlüklerle karşın 50' ye yakın çiftte çekim kararması hesaplanabilmiştir (Kitamura ve Nakamura 1989; Kitamura 1990). Ayrık çiftlerin anakol yıldızları için elde edilen  $\alpha$  değerleri işinim ve konvektif atmosfer kuramının verdiği değerlerle uyuşmaktadır (Şekil 6). Öte yandan yarı/ayrık dizgelerde Roche lobunu dolduran bileşenler için hesaplanan değerler  $2.25 < \alpha < 9.73$  arasındadır. Sicak geçen dizgelerde çekim kararması yine büyük  $1.4 < \alpha < 2.8$ , W UMa türü geçen dizgelerde ise konvektif zarflardan beklenen değerlerden daha büyük olup  $0.65 < \alpha < 2.77$  dir.

Yarı/ayrık dizgelerin Roche lobunu doldurmuş bileşenleri için çekim kararmalarının bu denli yüksek çıkışına Unno et al. (1988) **kütle kaybı kararması** derken, Kitamura (1990) büyük küteli bileşene kütle aktarımıyla erke taşınamasından kaynaklandığını önermektedir. Çekim kararmasının böyle büyük değerler alması, bileşenler arasındaki madde akışı ve erke aktarımından mı yoksa W UMa dizgelerindeki manyetik etkinliğin yıldızlardan erke aktarımını değiştirmesinden mi kaynaklanmaktadır? Daha önce de belirttiğimiz gibi çekim kararmasının böyle yüksek çıkışını bu yıldızların ışık eğrilerindeki bozulmalardan mı ileri gelmektedir? Çekim kararması problemini çözebilmek için anlaşılan daha çok çalışma gerekmektedir.



Şekil 6. Ayırık yakın çiftlerdeki anakol yıldızları için deneySEL olarak bulunan çekimsel kararma üssü.

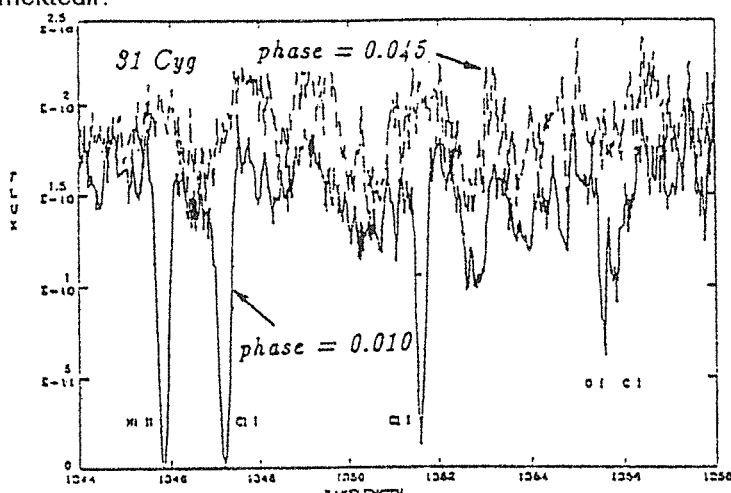


Şekil 7. Değen dizgeler için etkin sıcaklıkla çekim kararması arasındaki ilişki.

## 2.3 YILDIZ ATMOSFERLERİNİN YAPISI: ATMOSFERİK TUTULMALAR

Soğuk bir bileşen ile sıcak ve küçük bileşenden oluşan örten çiftlerde soğuk yıldızın atmosferinin sıcak yıldızı örtmesiyle onun atmosferine ilişkin önemli bilgiler elde edebiliriz. Atmosferik tutulma gösteren en ünlü dizgeler Zeta Aurigae yıldızlarıdır. Bu dizgeler G-M üst dev yıldızıyla daha küçük O veya B anakol yıldızlarından oluşur (Stencel et al. 1979; Ahmad 1989). M üst dev bileşenlilere VV Cep, F üst dev bileşenlilere de Epsilon Aurigae dizgeleri diyoruz.

Zeta Aurigae yıldızlarında sıcak bileşenin arkadan geçişi sırasında baş minimum öncesi ve sonrasında atmosferik tutulmalar gösterirler. Bu tutulmalar sırasında sıcak yıldızın ışığı soğuk bileşenin atmosferi tarafından soğurulur ve saçılır. Bu da sıcak yıldızın atmosferinden tayfsal belirtiler yanında gözlenen parlaklıktı dalgaboyuna bağlı azalmalar doğurur. Soğuk üst dev ve devlerin atmosfer yapılarını doğrudan inceleme fırsatını ancak Zeta Aurigae yıldızlarıyla elde edebiliyoruz. Görünür bölgede soğuk bileşen baskın iken morötede çok az katkıda bulunur. Dolayısıyla UV de sıcak yıldızın tayı ile atmosferik tutulmadan kaynaklanan çizgiler görülür. IUE uydusuyla yapılan gözlemler bu yıldızlara ilişkin önemli olduğu kadar şaşırtıcı sonuçlar vermiştir. Soğuk üst dev bileşenlerden çıkan rüzgarların sıcak bileşen tarafından iz şeklinde yönlendirildiği bulunmuştur (Hack ve Stickland, 1987). Schröder (1985, 1990), IUE gözlem verilerini kullanarak üst dev bileşenlerin yoğunluk dağılımını hesaplamıştır. Bu yıldızların IUE gözlemlerinden son yıllarda Ahmad (1989, 1990) tarafından bulunan en önemli bulgulardan birisi de sıcak B yıldızı atmosfer tarafından örtülüyken Cl, CII, NII ve OI gibi düşük sıcaklıklı dar ve kuvvetli soğurma çizgilerinin ortaya çıkartılmasıdır. Bu çizgiler sıcak bileşenin ışığının soğuk yıldızın kromosferinden geçişi sırasında üretilmektedir. Soğuk yıldızın kromosferinde bu düşük sıcaklıklı çizgilerin görülmesi soğuk kromosferin sıcak B bileşeninin ionlaşma ışınımından korunduğunu gösterir. Öte yandan, sıcak bileşenin soğuk kromosfer tarafından örtülmeye başlamasıyla, tutulmadan çıkışı sırasında elde edilen IUE tayıları kromosferin bakişk veya tekduze olmadığını göstermektedir.



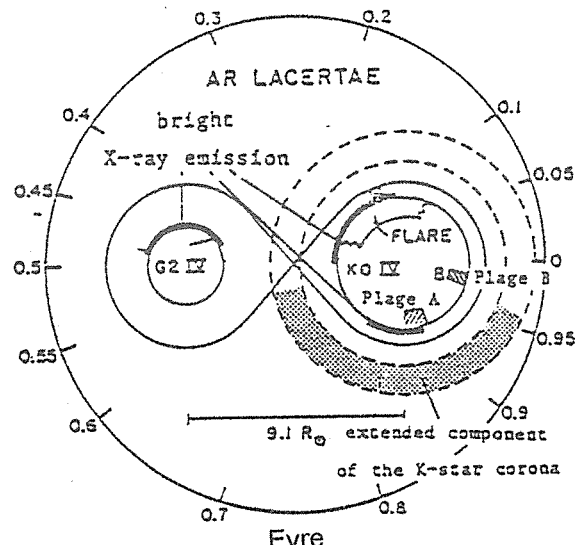
Şekil 8. 31 Cygni'nin 0.010 ve 0.045 evrelerinde alınan tayıfları.

## 2.4 YILDIZ YAPILARININ AYRINTILARI

Yıldız lekeleri, plajlar, fakülalar gibi küçük ölçekli yüzey yapıları yıldızın tutulması sırasında farklı dalgaboyu ve farklı salma ve soğurma çizgilerinde gözlenerek ortaya çıkartılabilir ve kuramla karşılaştırılabilir. Bunun için elbette çok yüksek yaymalı tayıflara gereksinim vardır.

Son yıllarda yüzey ve kromosfer yapısının ortaya çıkartılması için üzerinde en fazla çalışılan yıldızlardan birisi AR Lacertae'dir. G2IV ve K0III yıldızlarından oluşan kromosferik olarak aktif bu dizgenin yörunge dönemi 1.98 gündür. Kuvvetli bir X-ışın kaynağı olan dizgenin korona yapısını elde etmek için Walter et al. (1983) tutulmaları kullanmıştır. Rodono (1986) optik ışık eğrilerini analiz ederek lekenin boyutları ve yıldız yüzeyindeki dağılımını ortaya çıkarmıştır. Neff

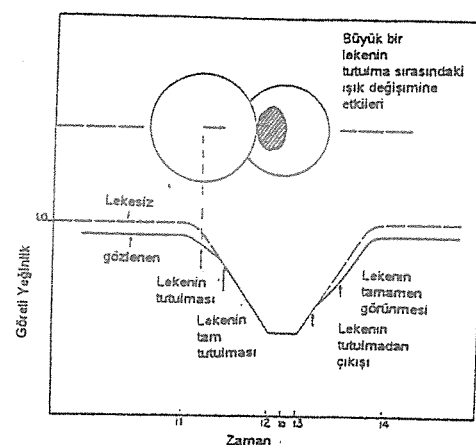
et al. (1989) ve Walter et al. (1990) bir dönem boyunca yüksek yaymalı IUE tayflarını elde ederek Doppler görüntüleme tekniğiyle MgII h ve k salmalarından yıldız yüzeyinde farklı üç salma bölgesinin varlığını ortaya çıkarmışlardır. Bunlardan ikisi KO III-IV yıldızındaki plaj bölgeleri üçüncüüsü de radyo flare'si ile bağlantılı kromosferik salma bölgeleridir. Plaj, radyo flare bölgeleri ve iki yıldızın katkılarını ayırmak için tutulmalar sırasında elde edilen FUV tayfları kullanılmıştır.



**Şekil 9.** AR Lac'in her iki bileşeninde lekeler, plajlar ve flare bölgelerinin yerleri.

## 2.5 YÜKSEK DUYARLIKLI İŞIKÖLÇÜM İLE YAKIN ÇİFTLERİN YÜZYEY GÖRÜNTÜLERİİNİN ORTAYA ÇIKARTILMASI

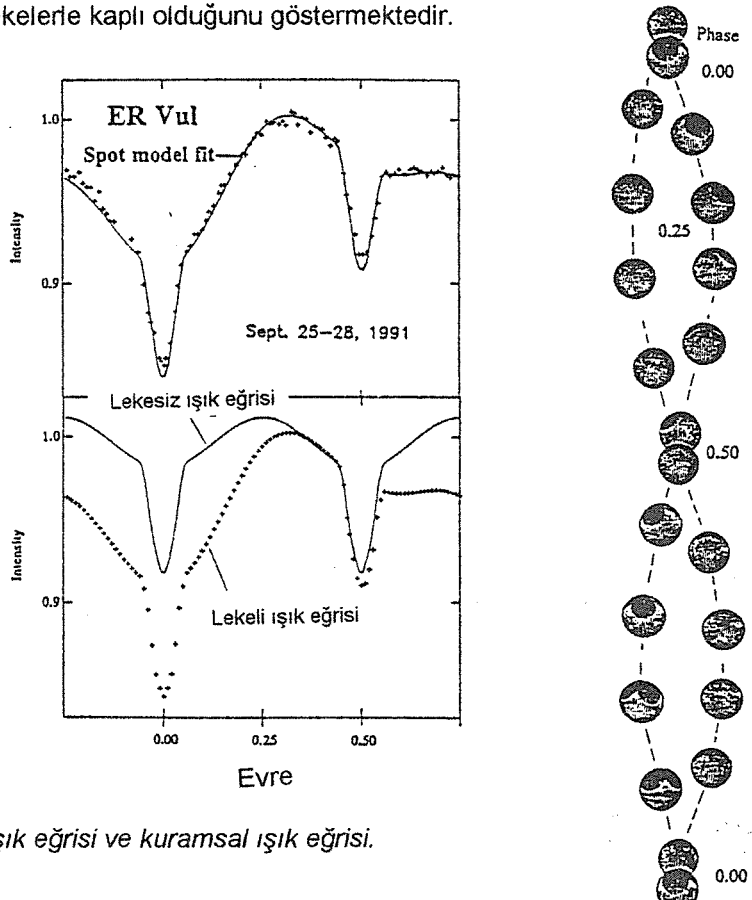
Örten çiftlerin yüksek duyarlıklı ışıkölçümüyle elde edilecek ışık eğrilerinden aktif bileşenlerin yüzey düzensizliklerini ortaya çalışma olanağı vardır. Bu dizgelerde örten yıldız, lekeli yıldızı örten bir örtme diski görevi görür. Örtülen yıldızdaki bir leke tutulmanın iniş ve çıkış kolunun eğiminde değişimler doğurur (Şekil 10.). Yer atmosferindeki düzensizliklerden kaynaklanan değişimleri en azı indirmek için farklı iki gözlemeviden eş zamanlı gözlem yapılmasıının büyük yararı vardır. Tutulma-haritalama tekniği X-ışın, UV ve radyo bölgelerinde başarıyla uygulanmasına karşın optik dalgalaboylarında ancak RS CVn, AR Lac, SZ Psc ve ER Vul dizgelerinde yapılmıştır.



**Şekil 10.** Büyüük ve karanlık bir lekenin tutulma sırasında ışık eğrisinin biçiminde yaptığı etki.

Bu yöntemin uygulanması yıldızda çok sayıda leke olduğunda, hem parlak hem de karanlık bölgelerin aynı anda bulunduğunda oldukça güçleşmektedir. Üstelik her ışık eğrisinin ayrı ayrı analiz edilmesi yanlışlı sonuçlar vermektedir. Güvenilir sonuçlara ulaşmak için tutulma verilerinin tutulma dışı ışıkölçüm verileriyle birleştirilmesi ve dizgenin ardışık, uzun zaman dilimine yayılmış ışık eğrilerine gereksinim vardır.

Şekil 11. de kısa dönemli bir RS CVn çifti olan ER Vul'ün gözlenen ışık eğrisiyle model ışık eğrisi gösterilmektedir. 0.698 gün dönemli güneş benzeri G0V + G1V yıldızlarından oluşan dizgede her iki bileşen de aktiftir. Yıldızların güneşten tek farkı 40 kat daha hızlı dönmeleridir. 25-28 Eylül 1991 tarihleri arasında E. Ü. Gözlemevi'nde elde edilen ışık eğrilerinde bozucu etkinin 0.6-0.3 gibi geniş bir aralığı kapsadığı görülmektedir. Yapılan analiz her iki yıldız yüzeyinin de önemli bir bölümünün lekelerle kaplı olduğunu göstermektedir.



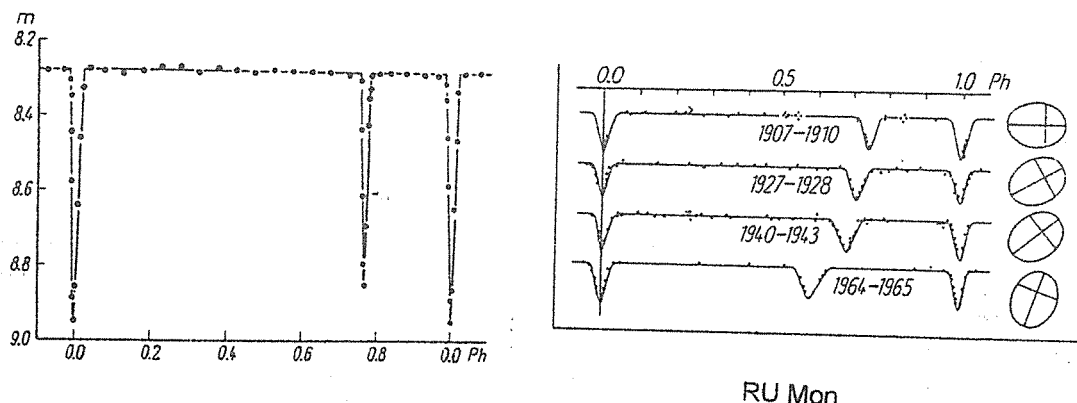
Şekil 11. ER Vul'ün V-ışık eğrisi ve kuramsal ışık eğrisi.

### 3. ÖRTEN ÇİFT YILDIZLARLA YILDIZLARIN İÇ YAPILARININ ARAŞTIRILMASI

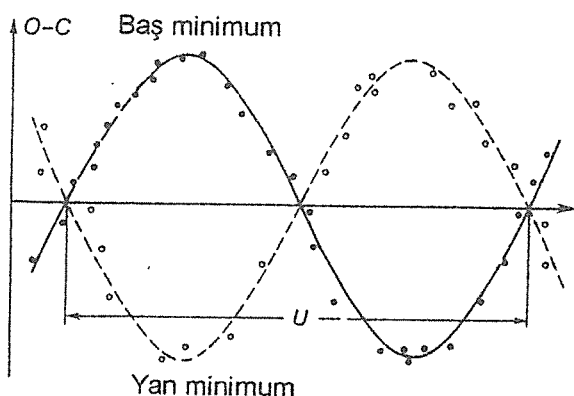
#### 3.1 EKSEN DÖNMESİNDEN İÇ YAPI VE KÜTLE DAĞILIMININ BULUNMASI

Bir yıldız bir çiftin üyesi ise ve basık bir yörüngede dolanıyorsa bu yıldızın içini görme ve kütle dağılımını elde etme olağlığı vardır. Bir çifti oluşturan yıldızlar karşılıklı çekim etkisi altında Newton yasasına bağlı olarak dolanıyorsa yörüngenin enberi noktasının boylamı  $w$  sabit ya da değişkendir.  $w$ 'nın zamanla değişmemesi koşulu : cisimlerin kütle nokta olması, Newton çekim yasasına uygun devinmeleri ve iki cisim çekimsel olarak yalıtılmış olmalıdır. Bu koşullardan birisinin sağlanmadığı durumda enberinin boylamı zamanla değişmeye başlar. Yakın çiftlerin birbirine karşılıklı olarak uyguladıkları çekim kuvvetleri ve kendi eksenleri çevresinde dönmelerinden dolayı küresel yapıları bozulur. Çekim ve dönmeden dolayı küresel yapıyı bozulmuş bir yıldızın ürettiği klasik dörtlü momentten dolayı eksen dönmesi başlar. Buna genel görelilikten kaynaklanan eksen dönmesi de katkıda bulunur.

Bir çift yıldızın baş ve yan minimum zamanlarının doğrusal bağıntı ile hesaplanan zamanlardan farkları alınarak elde edilen O - C değerleri zamana göre noktalananrsa bir sinüs eğrisi elde edilir. Baş ve yan minimumlara karşılık gelen O - C değerleri zit evrelidir.



Şekil 12. DI Her'in ışık eğrisi.



Şekil 13. Eksen döndürmesinden dolayı O - C değerlerindeki dönemli değişme (RU Mon)

İşik ve dikine hız eğrilerinden yörüngeye ve yıldızlara ilişkin özellikleri duyarlı bir şekilde elde edebilirsek eksen dönmesi döneminden bulacağımız  $w$  ile bireleştirerek yıldızlardaki kütle dağılımına gidebiliriz. Yıldız içlerindeki kütle dağılımı iç yapı sabiti  $k_2$  ile temsil edilir.

Çiftin yörünge dönemi  $P$ , eksen dönme dönemi de  $U$  ise enberinin boyamındaki değişme,

$$P / U = \Delta w / 2\pi \quad (3.1)$$

İç yapı sabiti de,

$$k_2 = (P / U) / (c_1 + c_2) \quad (3.2)$$

dir. Burada  $c_1$  ve  $c_2$  bileşenlerin kütle oranı, yörünge dışmerkezliği ve bileşenlerin yarıçaplarına bağlı sabitlerdir. Gözlemlsel olarak elde edilen  $k_2$  değeri ile iç yapı modellerinden bulunan

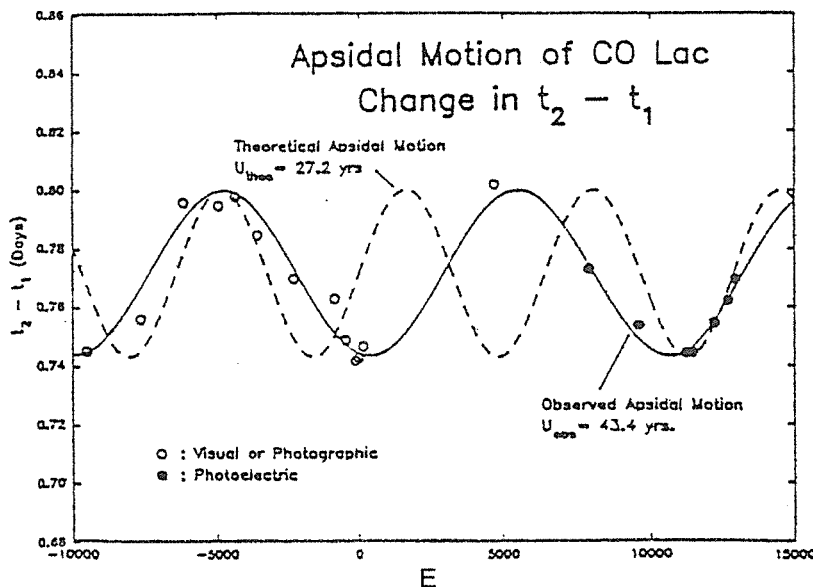
kuramsal  $k_2$  değeri karşılaştırılabilir. Bu da yıldızın kütlesi, yaşı ve kimyasal karışımına bağlıdır. Anakol gelişimini tamamlayan yıldızların iç yapı modelleri kullanılarak  $k_2$  değerleri Claret ve Gimenez (1989) tarafından hesaplanmıştır.  $k_2$  değerleri kütle, yarıçap ( $\log g$ ), kimyasal karışım ve yaşın fonksiyonu olarak verilmiştir.  $\rho_c / \rho = \infty$  olan yıldızlar için  $k_2 = 0.0$ ,  $\rho_c / \rho = 1$  olan eş yoğunluk dağılımlı yıldızlar için  $k_2 = 0.2$  dir. Anakol yıldızları için  $k_2$  değeri 0.005 ile 0.015 arasında değişmektedir.

İç yapı sabitini doğru tayin edebilmemiz için eksen dönmesine genel görelilikten gelen katkiyi çıkarmamız gereklidir. Genel görelilikten kaynaklanan eksen dönmesi,

$$U' / P = 1.57 \times 10^5 [A(1-e^2)] / (m_1+m_2) \quad (3.3)$$

Burada  $U'$  relativistik eksen dönmesi,  $A$  ise göreli yarı-büyük eksen uzunluğuudur.

Eksen dönmesi çalışmalarında gözlemlerle kuram arasında genel olarak iyi bir uyuşma vardır. Ancak kimi dizgelerde gözlem ve kuram birbirinden oldukça ayrılmaktadır. Buna en güzel ömeklerden birisi 10-kadirden 1.542 gün dönemli CO Lac'tır. Semeniuk (1967) dizgenin eksen dönmesinin dönemini  $43.4 \pm 0.5$  yıl verirken, Wolf (1994)  $43.36 \pm 0.04$  yıl bulmaktadır. Deeney et al. (1991) ışık ve dikine hız eğrilerini analiz ederek iç yapı modellerinden baş yıldız için  $k_{21} = 0.0071$  yoldaş yıldız için  $k_{22} = 0.0069$  bulmuştur. Bu  $k_2$  değerlerini kullanırsak kuramsal eksen dönme dönemi 27.2 yıl olacaktır ki bu değer gözlenenden %35 daha kısalır. İç yapı sabitini  $k_2 = 0.0042$  alırsak gözlenen değere yaklaşıyoruz. Bu da merkezi yoğunlaşmanın kuramdan beklenenden çok fazla olduğunu gösterir.



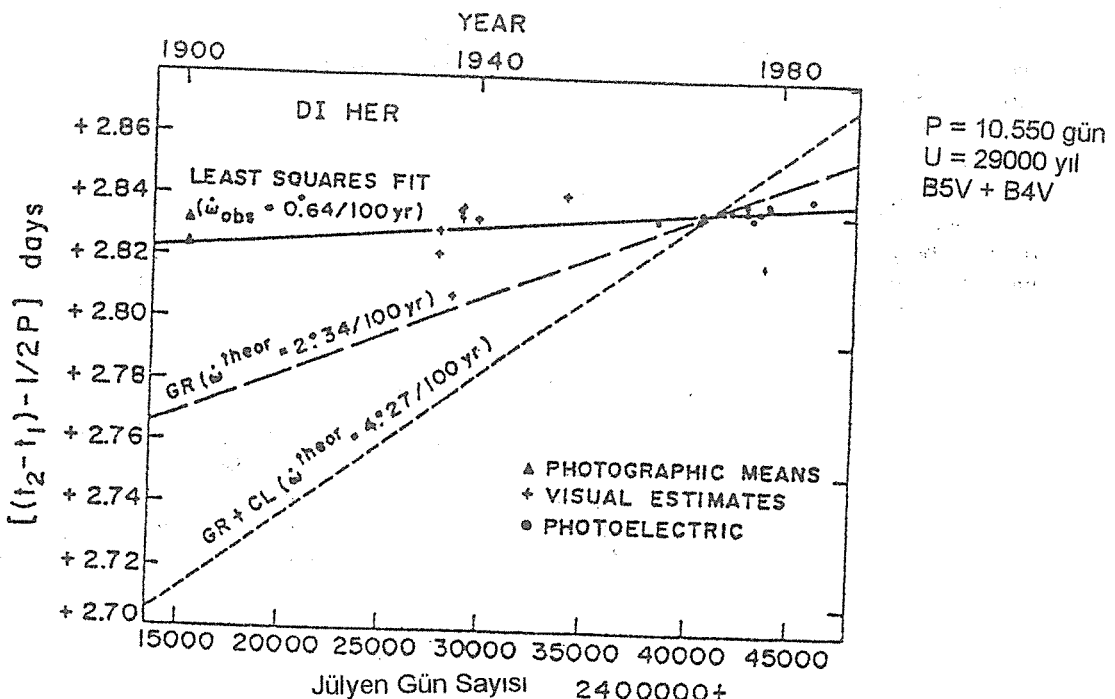
Şekil 14. CO Lac örten çift yıldızında eksen dönmesinin gözlenen ve kuramsal değerlerinin karşılaştırılması.

Örten çift yıldızlardaki eksen dönmesi yalnızca yıldızların iç yapılarına ilişkin bilgi vermekle kalmayıp Genel Görelilik (GG) kuramını da denetleme olağlığı sağlar. Son 70 yılda uzay uçuşlarıyla GG kuramında önemli ilerlemeler sağlanmasına karşın bu kuramın yeterince denetlenmediği kimi alanlar bulunmaktadır. Bu denetleme yollarından birisi 1913+16 atarcasının kullanılması olmuştur. GG kuramının uzayda çeşitli yollarla denetlenmesi için NASA bir dizi çalışma başlatmıştır.

Merkür gezegeninin yörunge eksenindeki devrinin her ne kadar GG kuramının en duyarlı dinamik testlerinden birisi olsa da son yıllarda bu test örten çiftlerin yörunge devrinimleriyle

yapılmaya çalışılmaktadır. Basık yörüngeli örten çiftlerin ışık ve dikine hız eğrilerinin analizi ve minimum zamanları kullanarak eksen dönmesinin klasik  $\dot{\omega}_{CL}$  ve genel görelilik  $\dot{\omega}_{GG}$  bileşenleri büyük bir duyarlılıkla hesaplanabilmektedir. Bu kuramsal değerlerin bileşimi gözlenen eksen dönmesi miktarı  $\dot{\omega}_{Goz}$  ile karşılaştırılabilir.

Genel görelilikten kaynaklanan eksen dönmesi, klasik çekimsel bozulma etkisinden büyük ya da eşit olan 10 kadar örten çift yıldız biliyoruz. İşte bu yıldızları kullanarak güneş dizgesindeki daha kuvvetli çekim alanlarında genel göreliliği denetleyebiliriz. Bunlarda büyük kütleli bileşenleri olan örten çiftlerde gözlenen eksen dönmesi, genel görelilik ve klasik etkilerden beklenenlerden daha küçüktür. Buna ömek olarak DI Her ve AS Cam örten çiftlerini gösterebiliriz (Gunian ve Maloney 1985, 1987; Maloney et al. 1989).



Şekil 15. DI Herculis örten çiftinde eksen dönme miktarları

DI Herculis örten çiftinde kuramsal olarak beklenen eksen dönme miktarı  $4^{\circ}.27 / 100$  yıl iken gözlenen değer bunun hemen hemen  $15\%$ 'i kadar olup  $0^{\circ}.65 / 100$  yıldır.

#### 4. YAKIN ÇİFTLERDE MANYETİK ETKİNLİK

Konvektif zarflı bir çok soğuk yıldızda fotosferik lekeler, kromosferik salma, korona X-ışınları radyo salması ve flare etkinliği gibi güneş benzeri manyetik etkinlik belirteçlerinin görüldüğünü biliyoruz. Genel olarak yıldız etkinliğinin yoğunluğu hızlı dönme ve konvektif zarfın derinliğinin arttığı geri tayf türlerine doğru büyümektedir. Güneş benzeri etkinliğin kökeninin Güneş'te diferansiyel dönme yapan konvektif bölgelerde manyetik alanların üretildiği manyetik dinamoya bağlanmaktadır. Güneş etkinliğini açıklamakta manyetik dinamo modeli genel kabul görmesine karşın çok az anlaşılan ve bugüne kadar yeterince denetlemesi yapılmayan bir modeldir (Parker 1981, 1986).

Skumanich (1972) ve Soderblom (1983, 1988) güneş benzeri tek yıldızlar da kromosferik etkinliğin yaşa ve dönme miktarına bağlı olduğunu gösterdiler. Güneş benzeri genç yıldızlar daha hızlı döndüklerinden manyetik etkinlik daha yoğun, güneş gibi yaşlı yıldızlar da yavaş döndüklerinden az yoğun olmalıdır. Güneş benzeri yıldızlarda manyetik etkinliğin azalması

kabaca  $\sim t^{-1/2}$  ile orantılıdır. Güneş ve soğuk tek yıldızların yavaşlaması manyetize yıldız rüzgarlarıyla manyetik frenleme sonucu açısal momentum kaybına (AMK) dayandırılmaktadır. AMK'nın yalnızca yıldızların dış katmanlarını mı yoksa çekirdeğe kadar tüm yıldızı mı etkilediği tartışmaları sürdürmektedir (Pinsonneault et al. 1989).

T Tauri ve ankol öncesi çok genç yıldızlar kadar etkinlik gösteren yıldızlar G ile M tayf türü arasında soğuk yıldızları bulunduran yakın çiftlerdir. Bunlara **aktif kromosferli çift yıldızlar** diyoruz. RS CVn, BY Dra, W UMa dizgelerini bu gruba ömek olarak gösterebiliriz. Bu etkin çift yıldızlarda bileşenler karşılıklı çekim etkisi ile çok hızlı dönerler; dönme dönemleri ile yörunge dönemleri hemen hemen eşittir. Bu yıldızlar sakin Güneş'e göre  $10^2 - 10^4$  kat daha yoğun X - ışın ışitmalarına sahiptir ve kuvvetli korona X-ışın kaynaklarıdır. Hemen hepsi ışık eğrilerinde göç dalgaları gösterirler. Göç dalgalarının varlığı bu yıldızların yüzeylerinin %30 - 40 'nın dev soğuk leke veya leke gruplarıyla kaplı olduğu ortaya koyar. Halbuki güneşimizde leke çevriminin maksimumunda bile güneşin ancak 0.002' si lekelerle örtülü. Bunlara ek olarak kromosferik etkinlik gösteren çift yıldızların çoğunuğunda yüksek erkeli flare benzeri olaylar gözlenmiştir (Byrne 1989, Pettersen 1989). Bu flarerler güneşe şimdiye deðin gözlenen en yoğun flareden daha kuvvetli,  $10^{34} - 10^{36}$  erg erkeldir.

Algol türü çiftlerde ve kataklismik değişen çiftlerde (CV) de manyetik alana bağlı etkinlik olduğunu biliyoruz. Ancak, bu dizgelerdeki sıcak bileşenler UV ve optik dalgaboylarında çok yoğun olduğundan onları incelemek güçleşmektedir. Üstelik, soğuk bileşenler Roche loblarını doldurduğundan soğuk bileşenden kütle kaybı ve kütle aktarımı da onun ışığında ve tayf çizgilerinde değişimler doğurur. Algol dizgelerindeki soğuk bileşenler tayf türü ve dönme özelliklerini bakımından RS CVn yıldızlarına çok benzettiğinden aynı düzeyde etkinlik göstergeleri beklenir. Gerçekten, bize yeterince yakın algol dizgelerinin X-ışın ve radyo çalışmaları onların X-ışın ve ışısız olmayan radyo özelliklerinin RS CVn' lere çok benzediklerini ortaya koymuþtur (Lestrade 1988, Drake et al. 1989). CV' lerdeki soğuk bileşenlerde derin konvektif zarflı M türü yıldızlar olup karşılıklı çekimden dolayı bir kaç saat dönen hızlı dönen yıldızlardır. O halde bunlardaki yüzey etkinliğinin daha yüksek olması beklenir. Yüksek düzeydeki bu etkinlik çiftin fiziksel yapısı ve gelişimini etkilemelidir. Ne yazık ki, beyaz cüce ve yiþılma disklerini çok parlak olması nedeniyle bu dizgelerdeki soğuk yıldızları inceleyemiyoruz.

Manyetik etkinlik ve dinamo modellerinin incelenmesinde neden yakın çift yıldızları kullanıyoruz ? Bu sorunun yanıtını şöyle verebiliriz :

1. Konvektif atmosferli bir yıldız bir yakın çiftin üyesi ise karşılıklı çekim ile yıldız kendi eksenin çevresinde yörunge dönemine eşit bir dönemde dönmeye başlar. Bu hızlı dönme yıldızın yaşamı boyunca kuvvetli manyetik etkinlik doğurur. İşte bu nedenle soğuk, eş dönmeli bileşeni olan çift yıldızlar çok etkindir ve bulunmaları da o denli kolaydır. O halde soğuk bileşenli yakın çiftler, kuvvetli kromosfer ve geçiş bölgesi (TR) salma çizgileri, korona, X-ışın ve radyo salmaları, yıldız lekeleri ve flarerler gibi dinamo kaynaklı manyetik etkinliklerin incelenmesinde önemli temel bilgiler verebilir.

2. Bir yakın çiftte yıldızın hızlı dönmesini sağlayan çekim kuvveti tek yıldızdaki iç ve yüzey dönmesini değiştirebilir. Çaðdaþ yıldız dinamo kuramlarında etkinlik çevriminin gelişimi ve manyetik alanların oluşumunda enlemsel ve boylamsal diferansiyel dönmenin önemli rolü olduğunu biliyoruz (Parker 1986; Gilman ve DeLuca 1986). Yakın çiftlerin üyeleri olan yıldızlarda diferansiyel dönmenin yavaşlatılması beklenir. Dolayısıyla karşılıklı çekimin kuvvetli olduğu yakın çift üyeleri dinamo modellerinin testi ve dinamoya diferansiyel dönmenin nasıl yansadığının incelenmesinde laboratuvar görevi görebilir.

3. Aktif yıldız bir çiftin üyesi ise kütle, yarıçap, ışitura vb. fiziksel özelliklerini biliyoruz. Yıldızın dönme ekseninin yörunge düzlemine dik olacağı varsayımyla yıldızın dönme ekseninin eğikliği de bellidir.

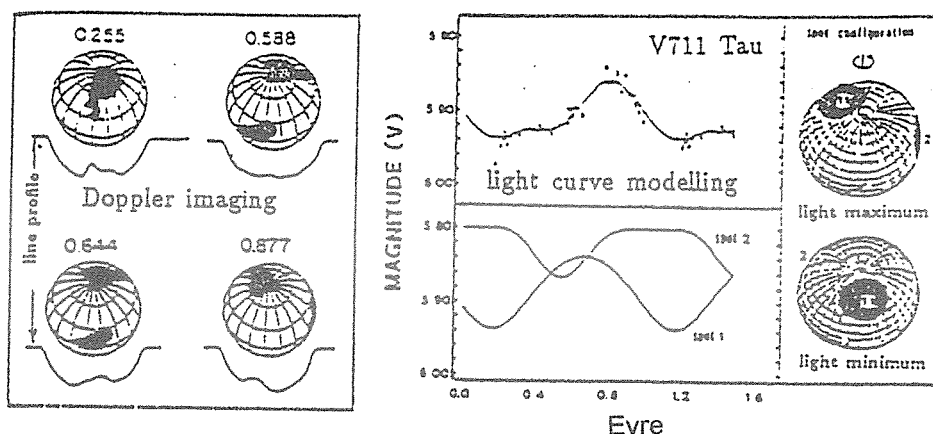
4. Kromosferik aktif yıldız bulunduran örten çiftlerde bileşenlerin karşılıklı olarak birbirini örtmeleri onların yüzey ve atmosfer yapılarını haritalama olanağı sağlar. Tutulma haritalama tekniğinin başarılı olması için UV, optik ve X-işin çalışmalarının birlikte değerlendirilmesi gerekir (Neff et al. 1989; White et al. 1990).

5. Aktif, soğuk bir bileşenle küçük, sıcak beyaz cüce veya alt cüce bileşenden oluşan örten çiftlerde soğuk yıldızın atmosferini incelemek için sıcak yıldız kullanılabilir. Baş minimum öncesi ve sonrasında sıcak yıldız soğuk yıldızın atmosferinin arkasından geçerken soğuk yıldızın iç korona, geçiş bölgesi ve kromosferi incelenebilir.

#### 4.1 YILDIZ LEKELERİ

Yıldızların yüzeylerinde de güneşteki gibi lekelerin bulunduğu 50 yıl kadar önce ilk kez Kron (1947) tarafından önerilmiş fakat, Hall (1976)'ün yıldız lekelerini kromosferik etkinliğe bağlayan çalışmasına deðin üzerinde fazla durulmamıştır. Lekelerin varlığına ilişkin ilk ip ucu geniş band ışık eğrilerinde görülen düşük genlikli sinüs benzeri parlaklık değişimi idi. Bundan sonra bu alanda yapılan yoğun araştırmalar bu yıldızlarda fotosferden 500-1000 K daha soğuk dev, kara lekelerin varlığını ortaya koydu. Leke bölgelerinin yeri, lekelerin sıcaklıklarını ve büyüklükleri için önce ışık eğrileri kullanıldı. ışık eğrilerinin modellenmesi çok sayıda serbest değişkene bağlı olduğunda içinden çıkışması zor sorunlar getirdi. Bu sınırlamalara karşın ışık eğrilerinin modellenmesiyle lekelerin sıcaklıklarını, alanlarını, sayıları ve yıldız yüzeyindeki konumlarına ilişkin önemli bilgiler elde edildi. Lekelerin bulunduğu boyamlar iyi belirlenirken lekelerin enlemleri tam olarak saptanamamıştır. Çünkü enlemin belirlenmesi leke alanı, sıcaklığı ve yıldızın dönme ekseniyle bakış doğrultusundaki açıya bağlıdır.

Leke bölgelerinin varlığı ve yıldız diskî üzerindeki konumunun balırılenmesi Vogt ve Penrod (1983) tarafından geliştirilen Doppler görüntüleme tekniği kullanılarak tayfsal yöntemle araştırılmaya başlanmıştır. Doppler görüntüleme tekniği dönen dolayı genişlemiş tayf çizgi kesitlerinde lekelerin oluşturduğu küçük bozulmalara dayanır. Bu yöntemin uygulanabilmesi için yüksek yaymalı ve yüksek sinyal / gürültü oranlı tayf çekerlerde bir dönem boyunca elde edilmiş verilere gereksinim vardır. Doppler görüntüleme yöntemi enleme çok duyarlı olduğundan ışık eğrilerinin leke modelleriyle birleştirilmesi haritalamayı tamamlamaya yardımcı olur. Leke boyutları ve dağılımları bir kaç hafta içerisinde değiştiðinden tayf ve ışık ölçümünün aynı anda yapılmış olmasında yarar vardır. Ancak, Doppler görüntüleme yöntemi çok az sayıda yıldızda uygulanabilmistir (Strassmeier 1990, 1991). Öte yandan Linsky (1988) ve Strassmeier (1990), Hatzes ve Vogt (1992) eş zamanlı çok-renk ışık eğrileriyle tayfsal Doppler görüntüleme tekniğinin aynı sonuçları verdikleri göstermişlerdir.



Şekil 16. V711 Tau 'nun aktif K2/V bileşeninde Doppler görüntüleme teknisi (Vogt, 1988) ve ışık eğrisi modellemesiyle (Rodono et al., 1986) elde edilen leke dağılımının karşılaştırılması. Gözlemler eş zamanlıdır.

Lekelerin özelliklerini ortaya çıkartmak için son yıllarda yüksek sinyal / gürültü oranlı  $\lambda$  8860 A TiO band tayıfı kullanılmaya başlanmıştır (Saar ve Neff 1990). Her üç yöntem de benzer sonuçlar vermektedir. Bu modellemeler yüksek enlemlerde en az iki lekenin bülündüğünü ve yıldızın görünen yüzeyinin %5' i ile %25'ini kapladığı ortaya koymaktadır. Lekeler yıldızın ışikküresine göre 500 - 1200 K daha soğuktur.

RS CVn ve BY Dra yıldızlarının çoğunun ışık eğrilerinin genliğinde ve ortalama parlaklıklarında güneş benzeri etkinlik çevrimlerinden kaynaklandığı sanılan uzun süreli değişimler görülür. Değişim çevrimleri genellikle 6-14 yıl arasındadır (Evren 1990; İbanoğlu 1990; Olah 1990). Öte yandan bu dizgelerin kimisinin yörunge dönemleri azalma ve artmayı aynı anda gösterirler. Her iki yönlü bu dönem değişmesini Hall (1990) güneş türü manyetik çevrimlere bağlamaktadır.

Güneşteki diferansiyel dönmenin enleme bağlı olduğunu biliyoruz. Dönme miktarı;

$$\Omega \text{ (°/gün)} \approx 14.37 - 2.60 \sin^2\phi \quad (4.1)$$

bağıntısıyla verilmektedir (Tang 1981). Güneş'in 11 yıllık etkinlik çevrimi ile 22 yıllık manyetik çevriminin açıklanmasında güneş dinamo modellerinin çoğu diferansiyel dönmemi anahtar element olarak kullanır. Kısa dönemli RS CVn dizgelerindeki diferansiyel dönme, güneştekiinin %10-30'u kadarken aktif, tek anakol yıldızlarıyla  $\lambda$  And'in yörunge dönemine eşit dönmeyen bileşeninde 5 kat daha fazladır. RS CVn yıldızlarındaki diferansiyel dönmenin bu denli küçük olması çekimle kuvvetli etkileşmeden dolayı diferansiyel dönmenin zayıflatılmıştır. Öte yandan, Vogt ve Hatzes (1991), UX Ari çiftinde bileşenlerin uçlaklarının eşleklerine göre daha hızlı döndüğünü göstermişlerdir.

RS CVn ve BY Dra yıldızlarının en önemli özelliklerinden birisi de Call H ve K çizgileriyle  $H_{\alpha}$  çizgilerinin çok kuvvetli salma olarak görünmesidir. Bu yıldızların kromosfer ve geçiş bölgelerine ilişkin bilgilerimiz şüphesiz IUE uydusuyla artmaya başladı. Soğuk G, K ve M türü yıldızların UV sürekliliği çok zayıf olduğundan MgII h+k  $\lambda$ 2800 gibi kromosferik salma çizgileriyle NV  $\lambda$ 1240, Si IV  $\lambda$ 1400 ve CIV  $\lambda$ 1550 gibi geçiş bölgesinin çok kuvvetli salma çizgileri kolayca incelenebiliyordu. Bu çizgilerin incelenmesiyle yıldız etkinliği yanında kromosfer ve geçiş bölgesinin fizik yapısına ilişkin önemli bilgiler elde ediliyordu.

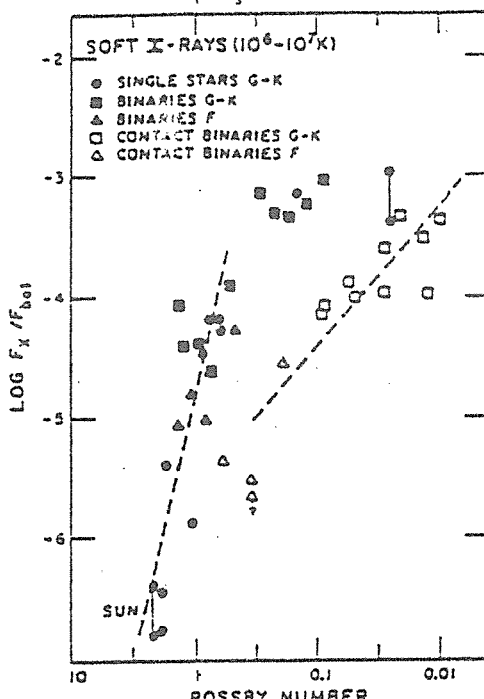
#### 4.2 KORONA X-İŞİN SALMASI VE RADYO SALMALARI

Aktif kromosferli yıldızların yumuşak X-ışın saldıkları (0.1-4.5 keV) ilk kez HEAO-I ile bulunmuş, daha sonra EINSTEIN, EXOSAT, GINGA ve ROSAT ile gözlemleri sürdürülmüştür. Bu gözlemler X-ışın ışitmalarının yörunge dönemine ve dolayısıyla dönme dönemine bağlı olduğunu göstermiştir. RS CVn yıldızlarının X-ışın ışitmaları  $L_x = 10^{29}-10^{31} \text{ ergs}^{-1}$  olup sakin güneşten ( $L_x = 2 \times 10^{27} \text{ ergs}^{-1}$ ) 100-10000 kat daha fazladır. Güneş koronasından salınan X-ışınları gibi bu yıldızlarda da X-ışın salmalarının koronada kapalı manyetik loop yapıları içersine sıkıştırılmış  $10^7 \text{ K}$  sıcaklığındaki sıcak plazmadan kaynaklanmaktadır.

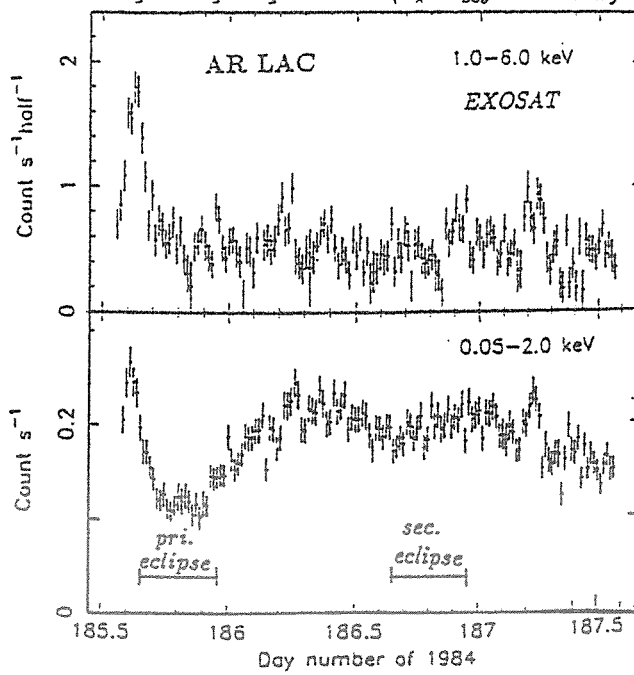
Vilhu (1984)'dan alınan Şekil 17. aktif yıldızların X-ışın akıları ile Rossby sayısı ( $P_{\text{don}} / \tau_c$ ) arasındaki ilişkiyi göstermektedir.  $R < 0.5$  olduğu hızlı dönen yıldızlarda  $\log (F_x / F_{\text{bol}}) = -3.0$  lük en büyük değerine ulaşır. W UMa türü degen dizgeler ise daha az X-ışın akılıdır ve farklı bir bağıntı gösterirler.

AR Lac'in EXOSAT ile elde edilen bir çevrimlik X-ışın gözlemleri düşük erkeklerde (<1 keV) baş ve yan minimumlarda X-ışınlarının yoğunlığında azalmalar gösterirken 1 keV dan daha yüksek erkeklerde evreye bağlı bir değişim göstermediği gibi X-ışın tutulmalan da göstermediğini ortaya çıkarmıştır (White et al. 1990). Düşük erkekli bileşen  $\approx 7 \times 10^6 \text{ K}$  sıcaklığına

karşılık gelmektedir. Yüksek erkelerde yörüngeye bağlı bir değişmenin görülmemesi dizgeyi yüksek sıcaklıklı bir plazmanın sardığını gösterir. Yüksek sıcaklıklı bu korona, boyutları bileşenler arasındaki uzaklığa kadar büyüyebilin kapalı manyetik yapılarla tuzaklanmış olabilir ve lüpların parçalanması sonucu fırlatılan parçacıklarla ısılabilir.



Şekil 17.. Normalleştirilmiş X-işin akıları ( $F_x / F_{bol}$ ) ile Rossby sayısı arasındaki ilişki (Vilhu 1984).

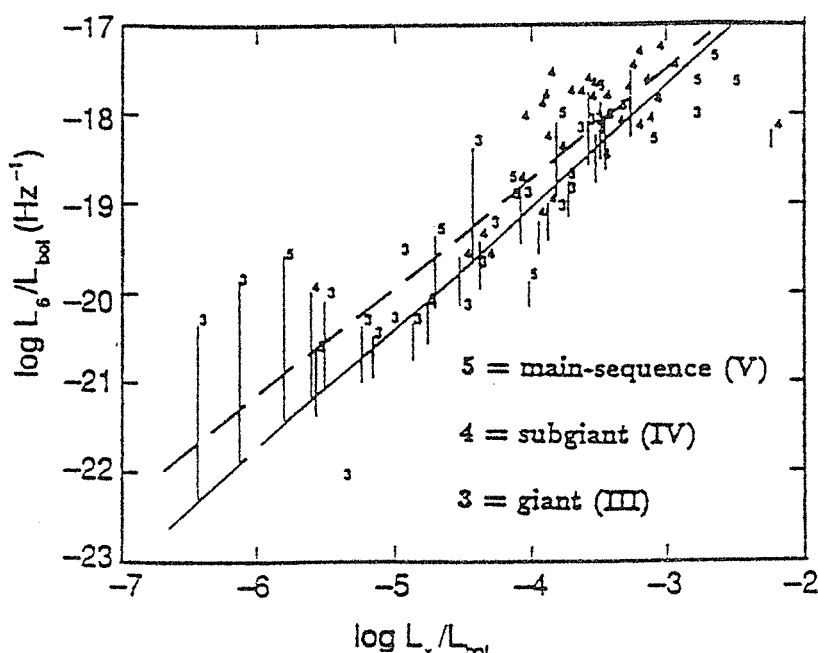


Şekil 18. AR Lac 'in EXOSAT X-işin gözlemleri.

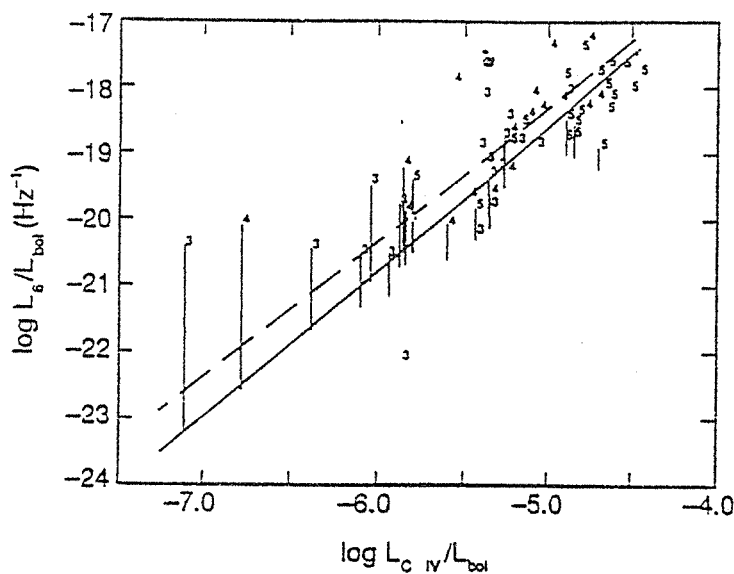
Güneş'ümüzün radyo salmaları yaptığı çok iyi biliyoruz. Bu salmalar sakin salmalardan radyo patlamalarına degen uzanmaktadır. Santimetre dalgaboylarındaki salmanın koronada bulunan ısisal ve relativistik plazmadaki cirosinkrotron ve ısisal frenleme işlemlerinden kaynaklandığı düşünülmektedir (Morris ve Mutel 1988). Bugüne degen aktif kromosferli 120

yıldızdan ancak yarısı 6 cm radyo dalgasında gözlemebilmiştir. Bu yıldızlardaki radyo salmaları güneşekinden kat kat kuvvetli olması yanında kimisinde radyo flareleri de gözlemebilmiştir (Byrne 1989).

Drake et al. (1989) 6 cm lik radyo ışımaları ile aktif bileşenlerin dönme hızları arasında  $L_x \approx V_{\text{dön}}^{1.0 \pm 0.3}$  şeklinde bir bağıntı bulmuşlardır. Öte yandan, normalleştirilmiş radyo ışımaları  $L_{6\text{ cm}} / L_{\text{bol}}$  ile normalleştirilmiş X-ışın ışımaları  $L_x / L_{\text{bol}}$  arasında  $L_{6\text{ cm}} / L_{\text{bol}} = (L_x / L_{\text{bol}})^{1.4 \pm 0.1}$ , normalleştirilmiş CIV  $\lambda 1550$  salma çizgisi ışımaları  $L_{\text{CIV}} / L_{\text{bol}}$  arasında da  $L_{6\text{ cm}} / L_{\text{bol}} \approx (L_{\text{CIV}} / L_{\text{bol}})^{2.2 \pm 0.3}$  şeklinde bir bağıntı bulmuşlardır. Bu bağıntılar Şekil 19. ve 20. de gösterilmektedir.



Şekil 19. Aktif kromosferli çiftlerde  $L_{6\text{ cm}} / L_{\text{bol}}$  ile  $L_x / L_{\text{bol}}$  arasındaki ilişki (Drake et al. 1989).



Şekil 20. BY Dra ve RS CVn yıldızlarında  $L_{6\text{ cm}} / L_{\text{bol}}$  ile  $L_{\text{CIV}} / L_{\text{bol}}$  arasındaki ilişki (Drake et al. 1989).

Radyo salması, X-işin ve kromosferik geçiş bölgesi etkinliği arasında yakın bir ilişki olduğu görülmektedir. O halde 6 cm radyo salmaları ile yüksek sıcaklıklı X-işin salmaları  $50 \times 10^6$  K lik ışışal elektronlar tarafından üretilmelidir. Bu da radyo salmalarının genişlemiş halo bölgesinde ışışal cirosinkrotrondan kaynaklandığını gösterir. Bu bölgedeki elektron yoğunluğu  $N_e = 2 \times 10^8$  cm<sup>-3</sup>, ortalama manyetik alan yoğunluğu de  $B \approx 200$  Gauss olarak hesaplanmıştır.

Manyetik alan yoğunlıklarının doğrudan ölçümü için Saar (1991), Zeeman-genişleme tekniğini geliştirmiştir. Bu teknik bir kaç yıldızda uygulanmış olmasına karşın yıldız yüzeyinde hangi bölgede yoğun bir manyetik alanın olduğunu ve toplam yüzeyin ne kadarını kapladığını güzel bir şekilde ortaya koymaktadır. V711 Tau örneğinde bulunan eşlek bölgesindeki  $B = 985 \pm 270$  Gauss' luk manyetik bölge yıldız yüzeyinin %18' ini kaplamaktadır. Bu yoğunlık güneş lekelerinin tam gölgelerindeki 1200-1600 Gauss' luk yoğunluktan az, fakat kapladığı alan çok genişir.

#### 4.3 YAKIN ÇİFTLERDE MANYETİK ETKİNLİĞİN SONUÇLARI: AÇISAL MOMENTUM KAYBI VE MANYETİK FRENLEME

Aktif yıldızlarda yıldız rüzgarlarındaki manyetik dönme momentlerinin açısal momentum kaybına neden olduğu bilinmektedir (Mestel 1968, 1984). Bu mekanizmaya **manyetik frenleme** diyoruz. Rüzgardaki manyetik alanın ürettiği kuvvet momentleri manyetik alanın yoğunluğuna, Alfven yarıçapına ve yıldız rüzgarlarının uzaklığuna bağlıdır. Manyetik frenleme ile AMK bileşenler arasındaki uzaklığın, dolayısıyla yörünge döneminin kısalmasına neden olur (Huang, 1966). Güneş türü tek yıldızların tersine yörünge dönemi kısalıkça çift yıldız bileşenleri daha hızlı dönmeye başlarlar. Dönmenin hızlanmasıyla manyetik etkinlik artar. Van't Veer (1979), Vilhu (1982), Guinan ve Bradstreet (1988) tarafından ayrıntılıyla tartışıldığı gibi güneş benzeri yıldızlardan oluşan ayrık bir dizge açısal momentum kaybı ile kısa dönemli bir degen dizge durumuna gelebilir. Çift kısa dönemli bir degen dizge durumuna geldikten sonra çekimsel ışının da AMK'nın önemli bir kaynağı durumuna gelir. Kısa dönemli ( $P < 0.5$  gün) bir yakın çift bu iki kurgunun etkisiyle birleşerek çok hızlı dönen FK Com veya mavi aykırı yıldızlar (blue stragglers) gibi tek yıldızlara dönüşebilir.

W UMa türü dizgelerden 34 'ü üzerine yapılan bir çalışma onların yüksek uzay hızına sahip olduklarını göstermiştir. Buna göre bu dizgeler çok yaşılı disk obeği yıldızlar olmalıdır. Guinan ve Bradstreet (1988) bu gruptaki yıldızların yaşlarının  $(5-10) \times 10^9$  yıl dolayında olduğunu hesaplamışlardır. Yaşılı bir açık yıldız kümesi olan NGC 188 ( $t = (5-10) \times 10^9$  yıl) de yedi W UMa dizgesinin bulunması (Kaluzny ve Shara 1987) bu düşünciyi desteklemektedir. Küçük küteli, başlangıç dönemleri kısa olan yarı ayrık dizgeler AMK ile daha kısa zamanda degen dizge durumuna geçmektedir. O halde bugün gözlediğimiz W UMa dizgelerinin atalarının kısa dönemli BY Dra ve RS CVn yıldızları olduğu söylenebilir.

#### 5. PLAZMA FİZİĞİ: YIĞILMA DİSKLERİ

Etkileşen çift yıldızlar terimi son on yılda sıkça kullanılmaya başlandı. Çift yıldız tanımına göre çekimsel olarak etkileşen iki yıldızdan oluşan bir çiftin üyeleri ortak kütle merkezinde kapalı yörüngelerde dolanmaya zorlandıklarına göre bütün çiftler etkileşen çift yıldızlar olmalıdır. Ancak etkileşen çift yıldızlar terimini daha çok her iki bileşenin ve dolayısıyla dizgenin gelişimini önemli ölçüde etkileyen kuvvetli etkileşmeler için kullanıyoruz (Batten ve Wood, 1993).

Yakın çiftlerin çoğunda bileşenlerden en az biri gelişim sırasında kendi eş potansiyel yüzeyini (Roche lobu) doldurabilir. Bu duruma gelen bileşen artık kararsızdır. Böyle dizgelerde

bileşenler arasında madde aktarımı ve dizgeden madde kaybı beklenmelidir (Batten, 1973). Bileşenler arasında madde aktarımının en iyi belirteçleri ışık ve dikine hız eğrilerinde bozulmalar, yörunge dönenlerde değişimler ve salma çizgilerinde evreye bağlı değişimelerdir.

Bileşenler arasında madde aktarımının varlığı ilk kez Wyse (1934)'nin RW Tau örten çiftinin tam tutulma evresinde balmer salma çizgilerini gözlemeyle ortaya çıktı. Daha sonra Joy (1942) tayfsal gözlem verilerini değerlendirek baş yıldız çevresinde dönen genişlemiş bir gaz halka modelini önerdi. Joy'un halka modeli zamanla disk - benzeri modele dönüştü. Struve (1949), çok sayıda Algol dizgesinde salma çizgileri buldu ve ilk kez yiğılma disklerinin daha çok uzun dönemli yıldızlarda olduğunu önerdi. CCD ve görüntü tüpleri gibi yeni alıcıların geliştirilmesiyle yiğılma disklerine ilişkin bilgilerimiz hızla artmaya başladı. Bugün yüksek yaymalı, yüksek S / N oranlı tafekerlerde yıldızlararası çok az maddeyi bile fark edebiliyoruz. NASA' nin 1968 yılında OAO - A2'yi fırlatmasıyla atmosfer dışından morote gözlemlerine başlanması, etkileşen bir çok örten çiftin morote ışık eğrilerinin elde edilmesi yiğılma disklerinin nasıl oluşuklarını ve fizik yapılarını anlamamızı kuşkusuz çok kolaylaştırdı.

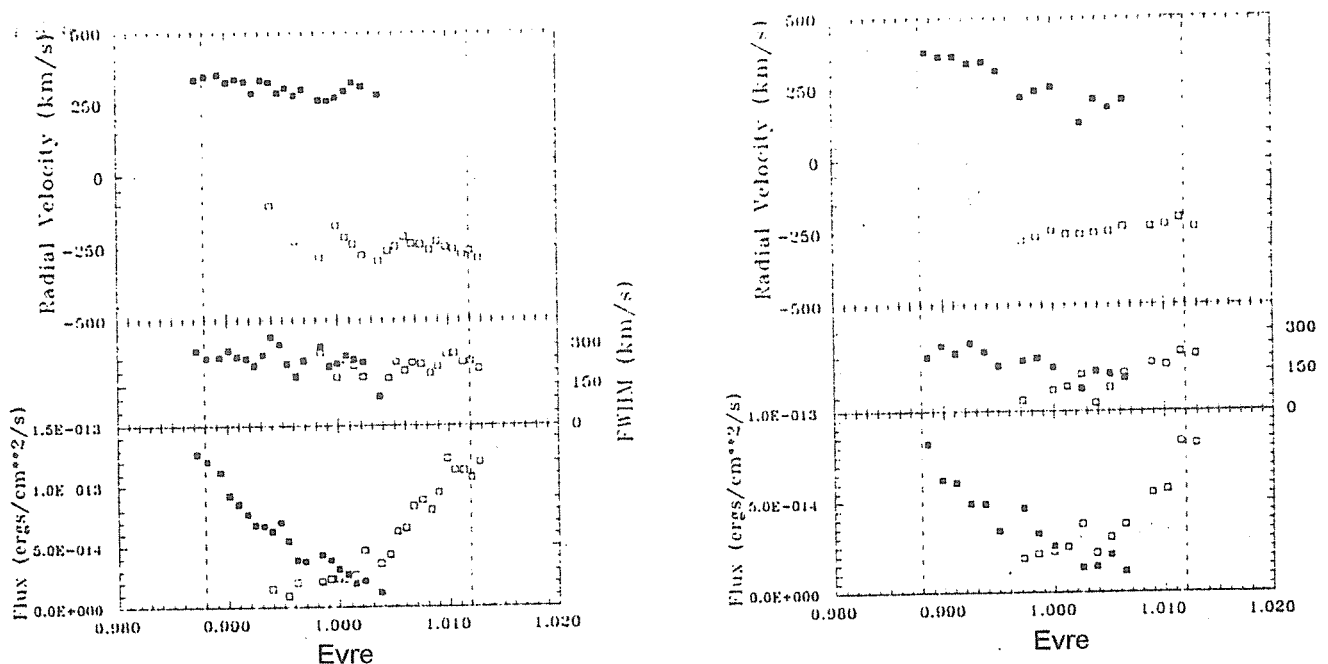
Baş yıldızları kuşatan yiğılma disklerinin Roche lobunu dolduran küçük kütleli bileşen tarafından oluşturulduğu bilinmektedir (Pringle 1981; Verbunt 1982). Lagrange L<sub>1</sub> noktasından ayrılan madde kütle alan yıldıza çarpmayacak kadar fazla açısal momentuma sahiptir. Akan madde büyük kütleli yıldız çevresinde yörunge çizmeye başlar. Sürtünme işlemleri dışarıya doğru açısal momentum içeriye doğru kütle yığarak yassı bir disk oluşturur. Hidrostatik dengede olan disk Kepler yöringesinde dönmeye başlar. Bu diskin oluşum işlemi kütle alan yıldızın kesirsel yarıçapı küçükse olasıdır. Bu da ancak CV ve uzun dönemli Algol dizgelerinde olabilir. Bununla birlikte kısa dönemli Algol dizgelerde akan gaz yıldızın arka yüzeyine çarpacaktır. Uzun ve kısa dönemli Algol dizgelerinde gözlenen farklı diskleri bu öneri açıklayabilmektedir (Lubow ve Shu 1975). Kısa dönemli Algollerdeki geçici diskler yıldız - akıntı çarpışmasıyla oluşabilir.

Kütle alan sıcak yıldızın soğuk yıldız tarafından örtülü olduğu derin baş minimumda sıcak yıldızi saran diskin ayrıntılarını görebiliriz. Tutulma başlangıcından sonuna kadar alınan tayflar diskin fizik yapısındaki farklılıklar yanında sıcak yıldız çevresindeki dönme hızlarını da bulmamızı sağlar.

Gaz diskleri üzerine yapılan çalışmaları derleyerek Kaitchuck ve Honeycutt (1982) ile Kaitchuck, Honeycutt ve Schlegel (1985) kütle aktarımı gösteren yıldızları iki gruba ayırdılar. Buna göre  $P > 5g$  olan yıldızlarda akan madde baş yıldızın arkasından sürüklenecek kalıcı bir disk oluşturmaktadır.  $P < 5g$  olanlarda ise akan gaz baş yıldıza çarpmakta geçici ve kararsız bir disk meydana gelmektedir. Peters (1989)'e göre en çok değişkenlik gösteren dizgeler 5-6 gün dönemli olanlardır. Diskin kalın ya da ince olması kütle aktarım hızına bağlıdır. Yıldızi saran diskin ön ucuyla arka ucundan elde edilen çizgi yoğunlıklarının farklılığı gibi hızlar da farklıdır. Dizgenin öğeleri belliise salma çizgilerinin görünüp kaybolma zamanlarını kullanarak diskin yarıçapını bulabiliyoruz. Hesaplanan yarıçaplar genellikle kuşattığı yıldız çapının 1.1 ile 1.7 katıdır ve dairesel yapıda değildir.

Şekil 21' de Kaitchuck (1989) 'un SW Cygni 'nin tayfsal gözlemleriley elde edilen sonuçlar verilmektedir. Farklı tarihlerde edilen gözlemlere göre diskin dönme hızı Kepler yörunge hareketine uyumamakta, yıldızın önündeki parçacıkların hız alanı zamanla tersine dönmektedir. En yüksek dönme hızları diskin en dışında görülmektedir. Dönme hızlarına göre daha geniş çizgi eşdeğer genişliklerinin tüm Balmer salma çizgilerinde görülmemesi disk içerisinde büyük ölçekli çalkantı devinimlerinin varlığının en iyi belirticidir. Bu yüksek ölçekli çalkantı devinimi kuvvetli bir şok cephesi oluşturarak yüksek mertebeden salma çizgilerini oluşturabilir(Kaitchuck, 1989). Plavec (1983)'e göre U Cep yıldızında yüksek mertebeden ionelaşmış elementlerin salma çizgilerinden çalkantı hızlarının  $100 \text{ kms}^{-1}$  dolayında olduğunu hesaplamıştır.

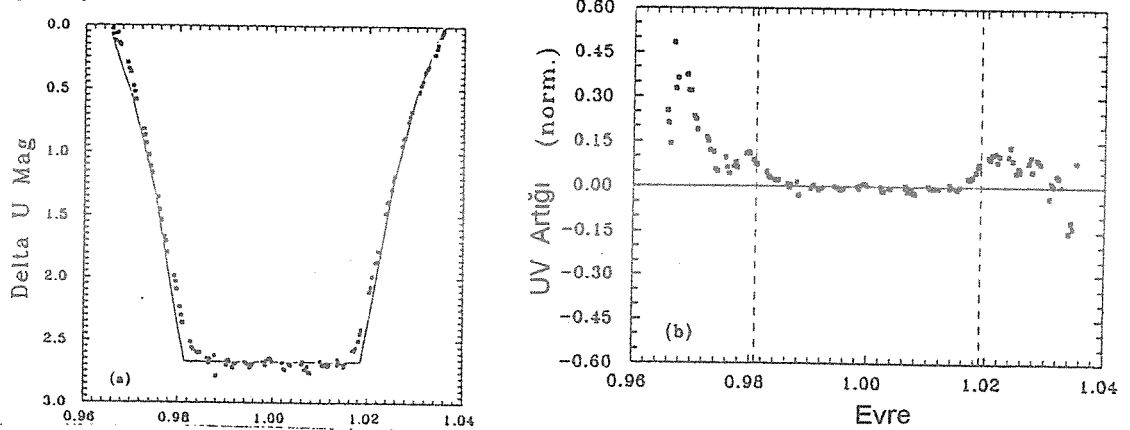
Peters ve Polidan (1984) sıcak çalkantı yiğılma bölgesinin (HTAR) kütle alan yıldızın arka yüzeyinde olduğunu göstermişlerdir. Buna karşın, HTAR, geçici diskin optik salma çizgilerini oluşturan bölgeler ve sürekli diskler arasındaki fiziksel ilişkiler henüz tam olarak anlaşılmamıştır.



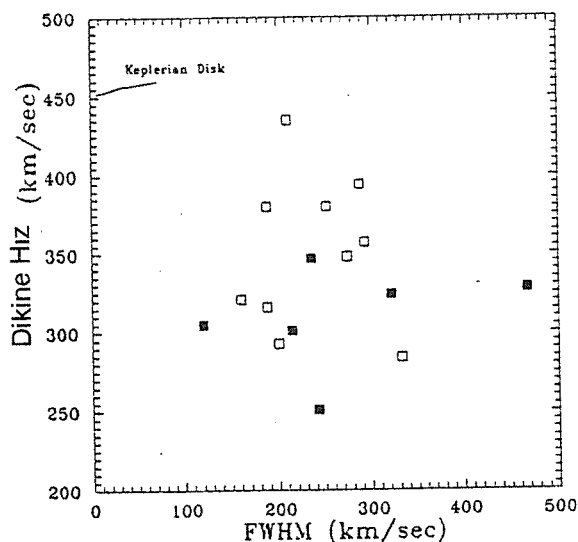
**Şekil 21.** SW Cygni 'nin 28 Temmuz 1982 ve 17 Ekim 1987 tarihlerinde elde edilen  $H_{\beta}$  salma çizgilerinin hızları, eşdeğer genişlikleri ve akıları. Dolu ve boş semboller kırmızıya ve maviye kaymış Doppler bileşenlerini göstermektedir.

Şekil 21' den de görüldüğü gibi ön diskin dış kısımları daha hızlı dönmektedir. Çizgi akıları da kırmızıya kayan bileşenin ikinci teğetten üçüncü teğete doğru azaldığını, maviye kayan bileşenin ise tutulma ortasından üçüncü teğete kadar düz ya da hızlı değişme gösterdiği görülmektedir.

Olson (1982), U Cep'in on yıllık gözlem verilerinden kütle aktarımı hızlandıığında geçici bir sürekli salma diskinin olduğunu önermiştir. Tutulma sırasında gözlenen sürekli ışık fazlalığını Olson, gaz akımıyla yıldızda erke depolanmasına bağlamaktadır. Kaitchuck et al. (1989) 'ın eşzamanlı tayf ve UVB ışıkölçümü de sürekli diskin yarıçapını  $1.2 R_{\text{pri}}$ , salma diskinin de  $1.2$  ile  $1.6 R_{\text{pri}}$  yarıçapında olduğunu ortaya koymustur. Kimi zaman içten teğet evresinde sürekli artığı bulunmazken salma çizgisi görülmekte, kimi zaman da bunun tersi olmakta veya her ikisi birden bulunmaktadır. Bu durum, bu iki bölgenin birbiriley yakın fiziksel ilişki içerisinde bulunmadığını ortaya koymaktadır.

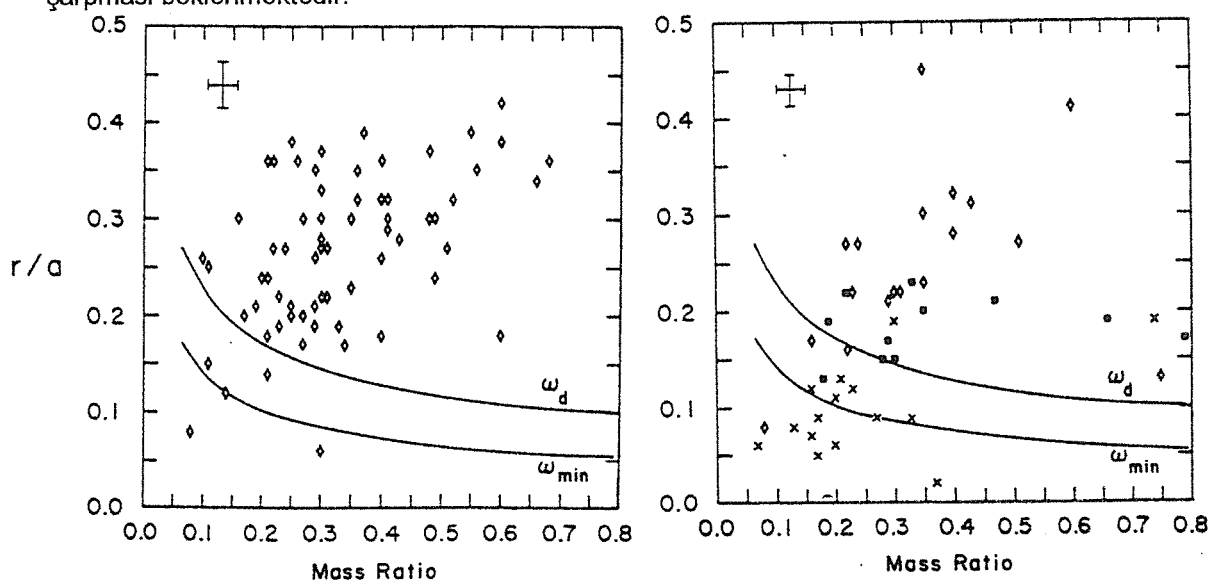


**Şekil 22.** U Cep 'in U bandındaki tutulma eğrisi ve renk artığı.

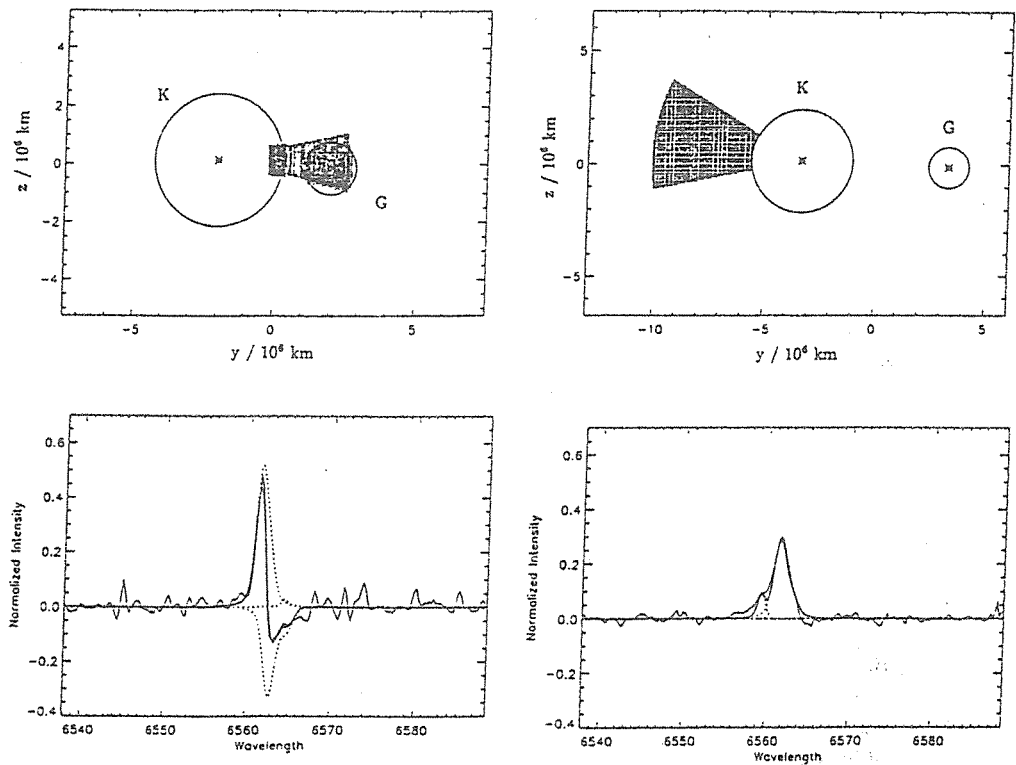


**Şekil 23.** U Cep'in baş minimumda salma çizgilerinden elde edilen dikine hızları ve çizgilerin eşdeğer genişlikleri. Dolu noktalar kırmızıya, boş noktalar da maviye kaymış çizgileri göstermektedir. Kepler yörüngesi de sürekli çizgiyle gösterilmiştir.

Dönem değişimeleri ve ışık eğrilerindeki bozulmalar kısa dönemli Algol dizgelerinin çoğunun kütle aktarım evresinde bulunduklarını göstermektedir. O halde neden çok az sayıda yıldız tutulma sırasında salma çizgisi göstermektedir? Bu sorunun yanıtı disk oluşumunun mekaniğinde bulunabilir. Şekil 24., Algol dizgelerinde baş yıldızın kesirsel yarıçapının kütle oranına göre değişimini göstermektedir. Disk belirtisi gözlenemeyen yıldızlar açık, geçici disk gözlenebilenden ise dolu sembollerle gösterilmiştir. Sürekli disk bulunduran yıldızlarda çarpı ile işaretlenmiştir. Bunlar genellikle uzun dönemli, her zaman salma çizgisi gösteren yıldızlardır. Bu şekilde görülen üstteki eğri, Lubow ve Shu (1975) tarafından hesaplanan disk yarıçapı, alttaki ise akıntının kütle alan yıldıza ne kadar yaklaşabileceğini göstermektedir. Altteki eğrinin altına düşen dizgelerde kararlı, Kepler yörüngesinde devinen disklerin oluşması beklenmektedir. İki eğri arasında kalan dizgelerde akıntının kalınlığına bağlı olarak bir kısmı sıcak yıldıza çarparken bir kısmı disk oluşturabilir. Üstteki eğrinin üstünde kalan yıldızlarda ise akıntının tamamının yıldıza çarpması beklenmektedir.



**Şekil 24.** Kütle kazanan yıldızın kesirsel yarıçapı ile kütle oranı arasındaki ilişki.



**Şekil 25.** SS Boo 'nun 9 Nisan 1987 'de 0.953 ve 25 Mayıs 1991 'de 0.923 evrelerindeki  $H\alpha$  çizgileri ve fişkırmacı modelleri ( Hall ve Ramsey, 1994 ).

Hall ve Ramsey (1994),  $H\alpha$  çizgilerinin ince yapılarından RS Cvn yıldızlarının bileşenlerinin Roche loblarını doldurmadan da fişkırmalar şeklinde kütle kaybedebileceklerini göstermişlerdir. Şekil 25 'te SS Boo 'nun hemen hemen aynı evre fakat farklı tarihlerde elde edilen  $H\alpha$  çizgi kesitleri ve bunları açıklamak için önerilen fişkırmacı modelleri gösterilmektedir. Fişkırmalar  $2.15 R_\odot$  yarıçapına kadar çıkabilmekte ve aktif yıldızların bu yolla güneş rüzgarıyla kütle kaybının 100 katı dolayında, yaklaşık  $10^{-12} M_\odot \text{ yr}^{-1}$  lik kütle kaybedebilecekleri önerilmektedir.

## 6. SONUÇLAR

Algol 'un John Goodricke tarafından yeniden bulunmasından bu yana 2 yy 'dan fazla zaman geçti. Bu uzun zaman diliminde bu ilginç cisimler grubunun yapılarını ve davranışlarını iyi kavrayabilecek bir konuma ulaştık. Ancak, daha çözemediğimiz bir çok olay bulunmaktadır. Bunları şöyle özetleyebiliriz :

- 1) Roche modeli bileşenleri birer kütle nokta olarak ele almakta, çekim kuvveti dışındaki işinim basıncı, manyetik etkiler, konvektif fırlatma, zonklama, dönme gibi henüz tam olarak anlayamadığımız öteki etkileri boşlamaktadır. Öyle anlaşılıyor ki bu etkilerden kaynaklanan kütle kaybı ya da kütle aktarımı, boşlanamayacak kadar büyüktür.
- 2) Etkileşen çift yıldızlarda kütle kaybının kütle aktarımından daha önemli olduğu açıga çıkmaktadır. Düzenli kütle kaybının etkileşen çift yıldızların gelişimini nasıl etkilediği gözlemsel ve kuramsal olarak açılığa kavuşturulamamıştır.
- 3) Yakın çiftlerin gelişimi başlangıç kütlelerine, başlangıç kütle oranına ve bileşenler arasındaki başlangıç uzaklısına bağlıdır. Ancak kuramla gözlem arasında bire-bir bir ilişki henüz kurulamamıştır.

- 4) Etkileşen çift yıldızlardaki bir çok olayı, yiğılma diskleriyle açıklamaya çalışıyoruz. Kuramsal çalışmalar, kütle alan yıldız sıkışık bir cisim ise yiğılma diskinin oluşabileceğini gösteriyor. Anakol ve dev bileşenler kütle almaya başladığında bir diskin nasıl oluşabileceği konusu henüz açıklığa kavuşturulabilmüş değildir.
- 5) Manyetik etkinlik, G ve K altdev ya da dev bileşenli yakın çiftlerde en yüksek düzeyine ulaşıyor. Bu, ya konvektif bölgenin derinliği veya düşük yüzey çekimi veya her ikisinden kaynaklanmaktadır. Ancak, Zwaan (1991) 'a göre en büyük etki karşılıklı çekimden gelmektedir. Zwaan, buna *hiperaktiflik* derken Kuijpers (1989) *çift katlanmış etki* demektedir. Bu yıldızların oluşumu ve bundan sonraki gelişimlerinin nasıl olacağı gizemini hala korumaktadır.
- 6) RS Cvn yıldızlarındaki diferansiyel dönme Güneş 'e göre çok az, bazlarında terstir. Aktif yıldızların diferansiyel dönmesi  $0.1 - 0.001$  iken, Güneş 'te bu değer  $0.2$  'dir. Diferansiyel dönmenin bu denli az olmasına karşın, aktif çift yıldızların Güneş ve güneş-benzeri yıldızlardaki manyetik etkinliklerin bütün özelliklerini göstermeleri, bu yıldızlarda farklı bir dinamo mekanizmasının mı olduğu sorusunu gündeme getirmektedir. Kimi yıldızlarda uçlak bölgelerinin neden daha hızlı döndüğü anlaşılamamıştır.
- 7) Yörunge dönemlerindeki yarı-düzenli artma ve azalmalar Hall (1990) tarafından aktivite çevrimlerine bağlanmaya çalışılmıştır. Ancak, bu düşünce henüz tartışılma aşamasındadır. Bu yıldızlardaki dönem değişimleri, manyetik etkinlik dışında başka olaylardan da mı kaynaklanmaktadır?
- 8) Aktif yıldızların ışık eğrileri analizi ve Doppler görüntüleme tekniği, bu yıldızlarda en az iki leke grubunun aynı anda bulunduğu göstermektedir. Bunlar Güneş 'tekinin tersine yüksek enlemlerde ve hatta kimi zaman tam uçlaklarda yerleşmektedir. Güneş 'te lekelerin ömrü bir kaç ay görünürken, bu yıldızlarda yıl mertebesindedir. Lekelerin ömrülerini ve konumlarını tam olarak ortaya çıkarabilmek için çok sayıda ardışık olarak elde edilmiş ışık eğrilerinin birlikte analizinin daha güvenilir sonuçlar vereceği açıklıktır.
- 9) Aktif çift yıldızlarda radyo salmalarının oluşmasında çiftlik etkisinin önemi, yıldız rüzgarları şeklindeki parçacık çarpmaları, kütle aktarım etkilerinin nasıl katkıda bulunduğu tartışmaları sürmektedir.
- 10) LMC 'de CAL87 'nin optik bileşeni 19. kadirden bir örten çifttir ( Cowley et al., 1990 ). X-ışın, tayf ve fotoelektrik ışıkölçüm,  $10.6$  saat dönemli bu örten çiftin görünümeyen bileşeninin  $6 M_{\odot}$  'den daha büyük kütleli bir karadelik olduğunu göstermektedir.  $1^m.2$  derinliğindeki başminimumun, karadelik etrafındaki geniş, parlak diskin örtülmesinden kaynaklandığı sanılmaktadır. CAL87 karadelik bulunduran tek örten çifttir. Tutulmaların incelenmesi, karadelik çevresindeki diskin geometrisi ve yapısını ortaya çıkarabilecektir.
- 11) Güneş-benzeri bir yıldız etrafında küçük kütleli bir kahverengi cüce veya bir gezegenin varlığı, ilk kez F9V yıldızı olan HD114762 'nin dikine hız çalışmalarından bulundu ( Mazeh et al., 1990 ). Görünmeyen bileşenin kütlesinin  $2.5 \times 10^{31}$  gr (  $13 M_{Jup}$  ) olduğu ve yörunge dolanımını  $84.05$  günde bir tamamladığı belirlendi. Kahverengi cüce ya da gezegenlerin varlığını ortaya çıkarmada yörunge eğikliği  $90^{\circ}$  'ye çok yakın olan örten çiftleri kullanabiliriz. Otomatik fotoelektrik teleskoplarda (APT)  $\pm 0^m.001$  duyarlılıkta gözlem yapabildiğimize göre ( Young et al., 1990 ) gezegenin yıldızı örtmesiyle oluşacak parlaklık değişimini kullanarak gezegen varlığını araştırabiliriz.
- 12) Yüksek kuantum etkinlikli CCD dedektörlerinin geliştirilmesiyle yıldız kümeleri ve dış gökadalarındaki  $15 - 18^m$  'den örten çiftlerin çok duyarlılık ışık ve dikine hız eğrilerini elde etmeye başladık. Ayrıca APT 'lerin Dünya yüzeyine dağıtıması ve ortak bir program hazırlanmasıyla etkileşen çift yıldızların bir dönemlik tam ışık eğrilerinin elde edilmesi olanağı doğdu.
- 13) X-ışın uyduları CV ve X-ışın çiftlerinin yapılarını anlamamıza büyük katkılarda bulundu. ROSAT ve AXAF 'in X-ışın çiftleri ve korona X-ışın kaynakları konusundaki bilgilerimizi daha da ileriye götüreceğini umuyoruz.
- 14) IUE fırlatılışından bu yana geçen 16 yıl boyunca  $\lambda\lambda 1150 - 3200$  dalgalaboyu aralığında yaptığı gözlemlerle yakın çiftlerin yapılarını daha iyi anlamamızı sağladı. Hubble Uzay Teleskopu (HST) UV dalgalaboylarında etkileşen çift yıldızların yapılarının ortaya çıkartılmasında önemli rol

oynayacaktır. Yüksek S/N oraniyla elde edilen çeşitli çift yıldızların tayfları incelenmeye başlanmıştır, gökadamız ile LMC ve SMC X-işin çiftlerinin araştırılması sürmektedir.

15)NASA önumüzdeki bir kaç yıl içerisinde Uluslararası Ay Gözlemevi 'ni kurmayı planlamaktadır. Böyle bir gözlemevinin sağlayacağı üstünlükleri söyle sıralayabilirim: atmosfer yok, dolayısıyla tüm elektromanyetik tayıfı alma olanağı var; kararlı bir gözlemevi tabanı; yavaş dönme nedeniyle bir kaynağı 14 gün gözleme olanağı. Ancak, böyle bir istasyonun kurulabilmesi için parasal sorun, Ay 'daki yüksek ardalan işini, gündüz/gece çevriminden dolayı bir gözlemevinin kapasitesinin ancak %50 'sinin kullanılması gibi güçlükler de vardır.

Yakın çiftlerde çözümleyemediğimiz olayların kökenine inebilmek için onların yüksek erkeli  $\gamma$  ışınlarından radyo dalgalarına kadar olası tüm dalgaboylarında uzun süreli gözlemlerinin gerektiği ortaya çıkmaktadır. Üstelik bu gözlemlerin eşzamanlı yapılmasıında büyük yarar vardır.

## KAYNAKLAR:

- Ahmad, I. A. : 1989, Ap. J., 338, 1011.  
Ahmad, I. A. : 1990, in 6. Cambridge Workshop on Cool Stars, Stellar Systems and the Sun, p230.  
Batten, A. H. : 1973, in Binary and Multiple Systems of Stars, ( Pergamon Press ), p.166.  
Batten, A. H., Wood, F. B. : 1993, in the Realm of Interacting Binary Stars, eds. J. Sahade, G. E. Mc Clushey and Y. Kondo ( Kluwer: Dordrect ), p.3.  
Byrne, P. B. : 1989, in Solar and Stellar Flares, ed. B. M. Haisch and M. Rodono ( Kluwer: Dordrecht ), p.61.  
Claret, A., Gimenez, A.: 1990, AA. 230, 412.  
Cowley, A. P., Schmidt, P. C., Crampton, D., Hutchings, J. B. : 1990, Ap.J. 350, 288.  
Drake, S. A., Simon, T., Linsky, J. L. : 1989; Ap.J. Suppl. 71, 905  
Deeney, B. D., Guinan, E. F., Maloney, F. P., Bradstreet, D. H.: 1991, B.A.A.S., 23, 835.  
Evren, S. : 1990, in Active Close Binaries, ed. C. İbanoğlu ( Kluwer:Dordrect ), p.561.  
Guinan, E. F.: 1983, in New Frontiers in Binary Star Research, ed. K. C. Leung and I. S. Nha, p. 1, Sci. Conf. Series Vol. 38.  
Guinan, E. F., Bradstreet, D. H. : 1988, Information and Evolution of low Mass Stars, ed. A. K. Dupree and M. T. Lago ( Reidel : Dordrect ), p.345.  
Guinan, E. F.,Maloney, F. P. : 1985, A.J., 90, 1519.  
Guinan, E. F.,Maloney, F. P. : 1987, in New Generation Small Telescopes, eds. D. S. Hayes, D. R. Genet and R. M. Genet ( Fairborn : Mesa, AZ ), p. 383.  
Gilman, P. A., DeLuca, E. E. : 1986, in Physics, Vol.254: Cool Stars, p.163.  
Hack, M. Stickland, D. : 1987, in Exploring the Universe with the IUE Satellite, ed. Y. Kondo ( Reidel : Dordrecht ). p. 445.  
Hall, D. S. :1976, in Multiple Periodic Variable Stars, ed. W. S. Fitch ( Reidel : Dordrecht ), p.287  
Hall, D. S. : 1990, in Active Close Binaries, ed. C. İbanoğlu, ( Kluwer : Dordrect ), p.95.  
Hall, J. C., Ramsey, L. W. : 1994, A.J. 107, 1149.  
Hatzes, A. P., Vogt, S. S. : 1992, M.N.R.A.S. 268, 387.  
Hill, G., Hutching, J. B. : 1970, Ap.J. 162, 265.  
Huang, S. S. : 1966, Ap.J., 150, 229.  
İbanoğlu, C. :1990, in Active Close Binaries, ed. C. İbanoğlu, ( Kluwer : Dordrect ), p.515.  
Joy, A. H. : 1942, P.A.S.P., 54, 35.  
Kaitchuck, R. H. : 1989, in Algols, ed. A. H. Batten ( Kluwer: Dordrecht ), p51.  
Kaitchuck, R. H., Honeycutt, R. K. :1982, P.A.S.P. 94,532.  
Kaitchuck, R. H., Honeycutt, R. K., Schlegel, E. M. : 1985, P.A.S.P. 97,1178  
Kaluzny, J., Shara, M. M. : 1987, Ap.J. 314, 585.

- Kitamura, M.: 1990, in Active Close Binaries ( NATO - ASI ), ed. C. İbanoğlu (Kluwer: Dordrecht), p. 69.
- Kitamura, M., Nakamura, Y. : 1989, Publ. Natl. Astron. Obs., Japan, 1, 43.
- Kopal, Z. : 1955, Ann Ap. 18, 379.
- Krat, T. V. : 1944, Astr. Zu. 21, 20.
- Kron, G. E. : 1947, P.A.S.P., 59, 261
- Lestrade, J. F. : 1988, in The Impact of VLBI on Astrophysics and Geophysics, ed M. J. Reid and M. J. Moran ( IAU Publ. ), p.265
- Linsky, J. L. : 1988, in Multiwavelength Astrophysics, ed. F. Cordova ( Cambridge Univ. Press), p.49.
- Lubow, S. H., Shu, F. H. : 1975, Ap.J. 198, 383.
- Lucy, L : 1967, Z. Ap., 65, 89.
- Maloney, F. P., Guinan, E. F., Body, P. T. : 1989, A.J. 98, 1800.
- Mazeh, T., Latham, D. W., Stefanik, R. P., Torres, G., Wasserman, E. : 1990, in Active Close Binaries, ed. C. İbanoğlu ( Kluwer : Dordrecht ), p267.
- Mestel, L.: 1968, M.N.R.A.S., 138, 359.
- Mestel, L.: 1984, in Lecture Notes in Physics, Vol.193: Cool Stars, Stellar Systems and the sun, ed. S. L. Baliunas and L.Hartmann ( Spirenger - Verlag : Berlin ), p.49.
- Morris, D. H., Mutel, R. L. : 1988, A.J. 95, 204.
- Neff, J. E., Walter, F. M., Rodona, M., Linsky, J. L. : 1989, A.A., 215, 79.
- Olah, K. : 1990, in Active Close Binaries, ed. C.İbanoğlu, ( Kluwer : Dordrect ), p.545.
- Olson, E. C. : 1982, Ap.J. 259, 702.
- Paczynski, B. : 1967, in On The Evolution of the Double Stars, ed. J. Dommangé, p. 111, Commun Obs. r. Belgique, Ser. B, No. 17.
- Parker, E. N. : 1981, Ap.J., 244, 631.
- Parker, E. N. : 1986, in lecture Notes in Physics, No. 254 Cool Stars, Stellar System and the Sun, ed. M. Zeilik and D. M. Gibson ( Springer - Verlag, NY ), p. 341.
- Peters, G. J. : 1989, in Algols, IAU Coll. No. 107, ed. A. H. Batten, ( Kluwer : Dordrect ) ,p.9.
- Peters, G. J., Polidan, R. S. : 1984, Ap.J. 282, 745.
- Pettersen, B. R. : 1989, Solar Physics. 121,299.
- Pinsonneault, M. H., Kawaler, S. D., Sofia, S., Demargue, P. : 1989, Ap.J., 338, 424.
- Plavec, M. : 1963, Ap.J. 275, 251.
- Plavec, M. : 1964, Bull. Astr. Inst. Csl. 15, 156.
- Plavec, M. : 1967, in On the Evolution of Double Stars, ed. J. Dommangé, p. 83, Commun. Obs. r. Belgique, Ser. B, No. 17.
- Pringle, J. E. : 1981, Ann. Rev. A. Ap. 19, 137.
- Rodono, M. : 1986, in Cool Stars, Stellar Systems and the Sun, eds. J. L. Linsky and R.E. Stencel ( Springer - Verlag, NY ), p.475.
- Saar, S. H. : 1991, in The Proc. IAU Coll. 130 : The Sun and Coll Stars - Activites, No. 3228.
- Sahade, J. : 1960, in Stellar Atmospheres ( Stars and Stellar Systems VI ) ed. J. L. Greenstein, p. 466, Chicago University Press.
- Schröder, K. P. : 1985, A.A. 147, 103.
- Schröder, K. P. : 1990, in Evolution in Astrophysics, ed. E. J. Rolfe, ESA SP - 310, p.345.
- Semeniuk, I. : 1967, Acta Astr., 17, 245.
- Skumanich, A. : 1972, Ap. J., 171, 565.
- Soderblom, D. R. : 1983, Ap. J. Suppl., 53, 1.
- Soderblom, D. R. : 1988, in Formation and Evolution of Low Mass Stars, ( NATO - ASI ) ed. A. K. Dupree and M. T. Lago ( Kluwer : Dordrecht ), p.389.
- Stencel, R. E., Kondo, Y., Bernart, A.P., McCluskey, G. E. : 1979, Ap. J. 233, 621.
- Strassmeier, K. G. : 1990, Ap. J., 348, 682.
- Strassmeier, K. G. : 1991, in Robotic Telescopes in the 1990's, ed. A. Filippenko ( A.S.P. Conf. Ser. ).
- Struve, O. : 1949, M.N.R.A.S. 109, 487.
- Struve, O. : 1950, Stellar Evolution, Chap. 3, Princeton University Press.
- Unno, W., Kiguchi, M. Kitamura, M. : 1988, Atmospheric Diagnostic of Stellar Evolution ( Proc. IAU Coll. No. 108 ), p.215.

- Van't Veer, F. : 1979, A. A. 80, 287.
- Verbunt, F. : 1982, Sp. Sci. Rev. 32, 379.
- Vilhu, O. : 1982, A.A.109, 17.
- Vilhu, O. : 1984, Proc. 4th European IUE Conf., ( ESA SP - 218 ),239.
- Vogt, S. S. : 1988, in The Impact of Very High S/N Spectroscopy on Stellar Physics,  
ed. G. C. De Strobel and M. Spite ( Kluwer : Dordrecht ), p. 253.
- Vogt, S. S., Hatzes, A. P. : 1991, in The Sun and Cool Stars ( Proc. IAU Coll. No. 130 ), p297.
- Vogt, S. S., Penrod, G. D. : 1983, P.A.S.P., 95, 565.
- Walter, F. M., Gibson, D. M., Basri, G. S. : 1983, Ap. J. 267, 665.
- Walter, F. M., Neff, J. E., Gibson, D. M., Linsky, J. L., Rodono, M., Gary, D. E. and Butler, C. J.:  
1990, A.A. 186, 241.
- White, N. E., Shafer, R. A., Horne, K., Parmar, A. N., Culhane, J. L. : 1990, Ap.J. 350, 776.
- Wilson, R. E., Devinney, E. J. : 1971, Ap.J. 166, 605.
- Wolf, K. : 1994, A.A. 286, 875.
- Wood, D. B. : 1969, Bull. Am. Astr. Soc. 1,267.
- Wyse, A. B. : 1934, Lick Obs. Bull. No.17, 42.
- Young, A. T. et al. : 1990, IAAPP Comm. No. 39, p5.
- Zeipel, H.: 1924, M.N.R.A.S., 84, 702.